

Квантовая макрофизика.

Лекция 9:

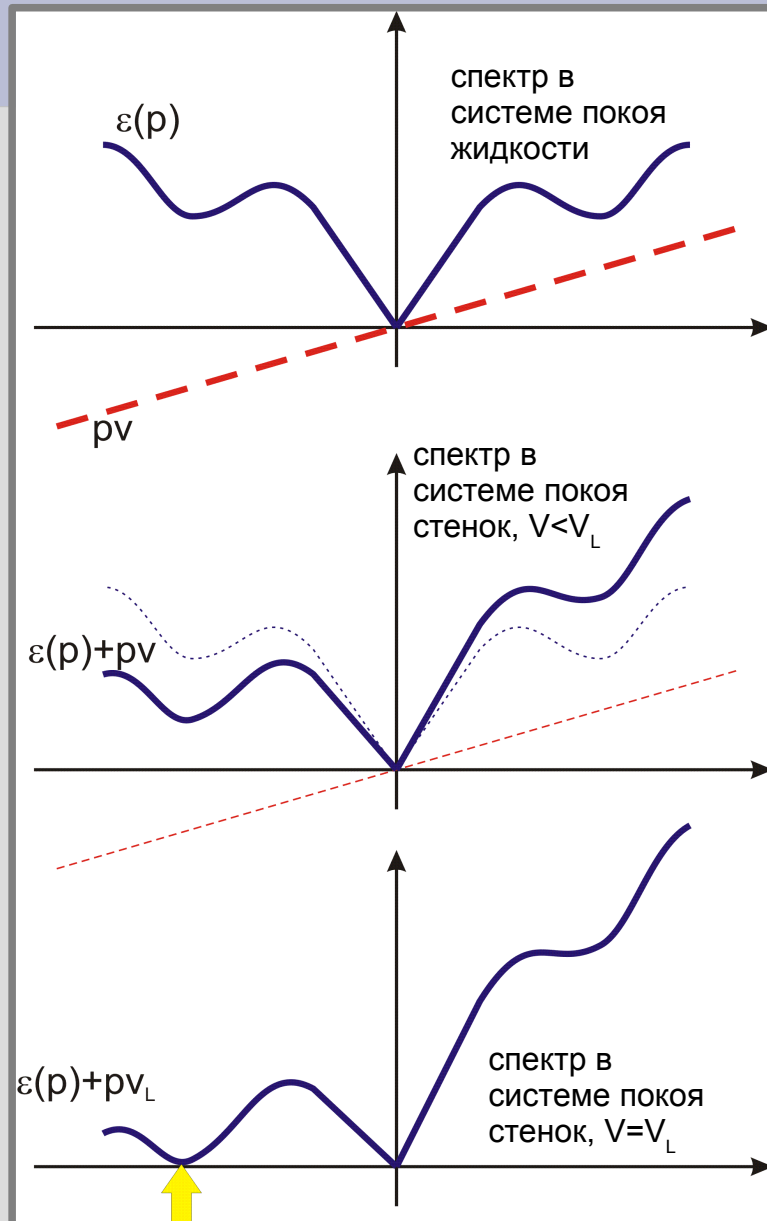
Электродинамика сверхпроводников.

Основы микроскопии сверхпроводников.

~~Сверхпроводники II рода.~~

Часть 1. Воспоминания о сверхтекучести

Критерий Ландау.

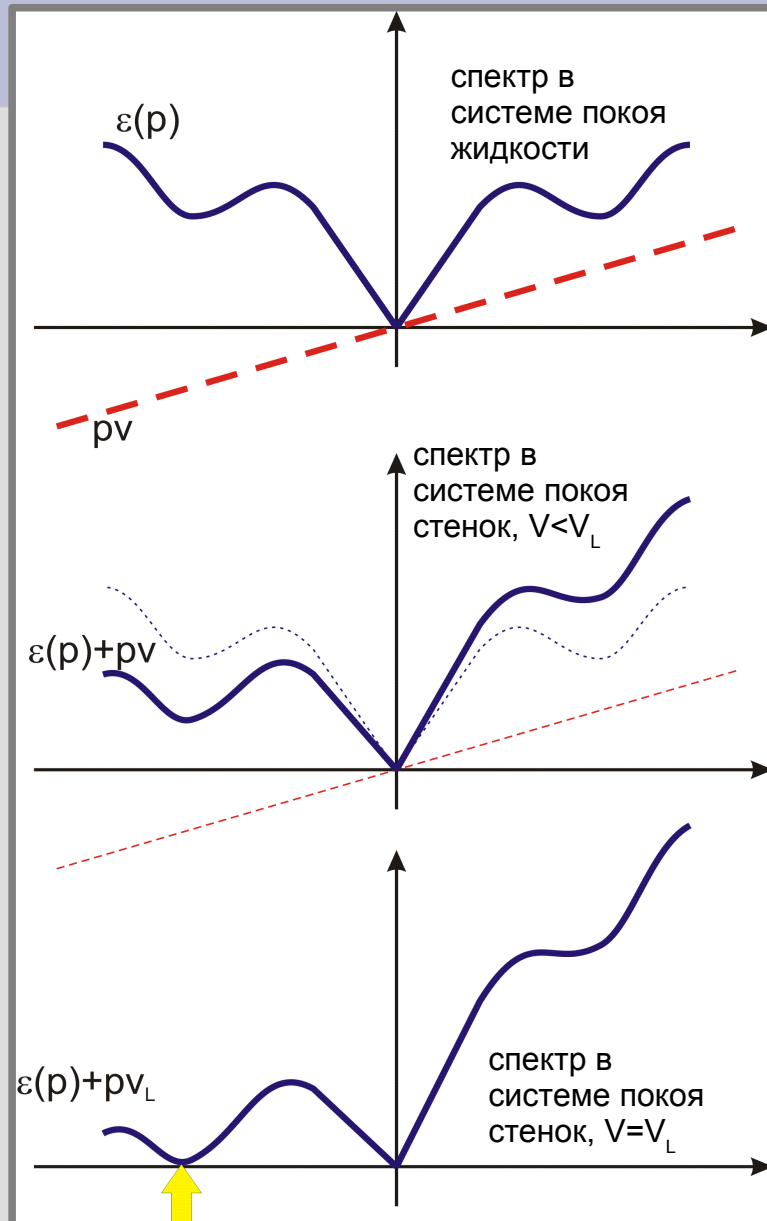


$$\varepsilon' = \varepsilon + \vec{p} \cdot \vec{V}$$

$$n(\varepsilon') = \frac{1}{e^{\varepsilon'/T} - 1}$$

В отсутствие квазичастиц сверхтекучая жидкость движется как целое. Квазичастица описывает отличие от основного состояния (покоя или движения как целое).

Критерий Ландау.



$$\varepsilon' = \varepsilon + \vec{p} \cdot \vec{V}$$

$$n(\varepsilon') = \frac{1}{e^{\varepsilon'/T} - 1}$$

В отсутствие квазичастиц
сверхтекучая жидкость движется
как целое. Квазичастица

описывает
состояние

Возникновение квазичастиц с
 $p \approx -p_0$ означает увлечение
части жидкости против
направления движения, то
есть появление вязкого
трения.

Фаза волновой функции сверхтекучего «конденсата»

Бозевская статистика разрешает макроскопическому числу частиц собраться в одном квантовом состоянии с наименьшей ($T=0$) энергией.

Частицы квантовой жидкости делокализованы, плотность вероятности постоянна — поэтому от координаты зависит только *фаза* волновой функции основного состояния.

волновая функция частицы

$$\Psi_0 = \sqrt{N_0} e^{i\Phi}$$

Фаза волновой функции сверхтекучего «конденсата»

Бозевская статистика

раз
числ

$$\hat{p}\Psi_0 = (\hbar \vec{\nabla} \Phi) \Psi_0$$

на

волновая функция частицы

$$\Psi_0 = \sqrt{N_0} e^{i\Phi}$$

ж

к

ОСНОВНОГО СОСТОЯНИЯ.

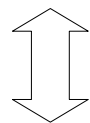
Фаза волновой функции сверхтекучего «конденсата»

Бозевская статистика

раз
числ

на

$$\hat{p} \Psi_0 = (\hbar \vec{\nabla} \Phi) \Psi_0$$



$$m V_s$$

волновая функция частицы

$$\Psi_0 = \sqrt{N_0} e^{i\Phi}$$

ж

к

ОСНОВНОГО СОСТОЯНИЯ.

Фаза волновой функции сверхтекучего «конденсата»

Бозевская статистика

раз
числ

на

$$\hat{p} \Psi_0 = (\hbar \vec{\nabla} \Phi) \Psi_0$$

$$\begin{array}{c} \updownarrow \\ m V_s \end{array}$$

волновая функция частицы

$$\Psi_0 = \sqrt{N_0} e^{i\Phi}$$

ж

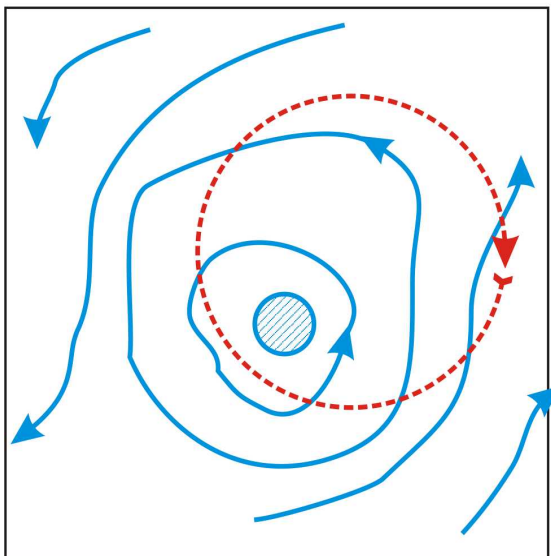
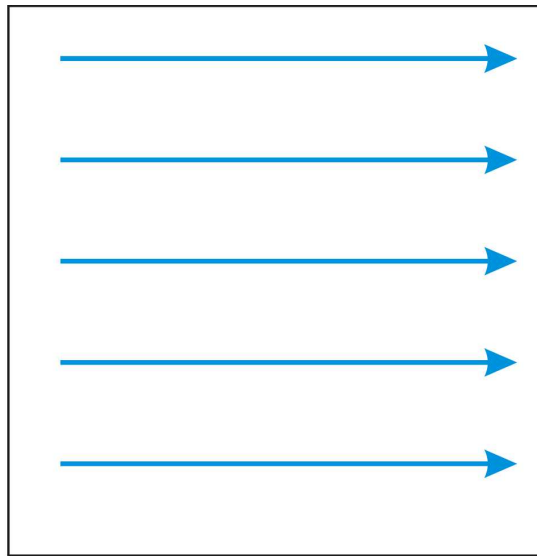
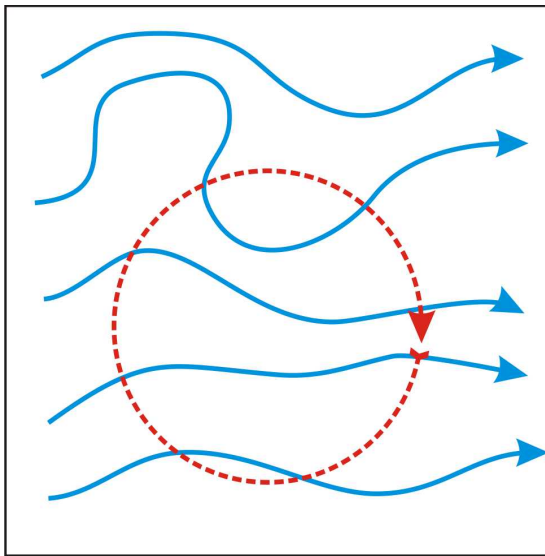
$$\vec{V}_s = \frac{\hbar}{m} \vec{\nabla} \Phi$$

к

$$\oint \vec{V}_s d\vec{l} = \frac{\hbar}{m} \oint \vec{\nabla} \Phi d\vec{l} = \frac{\hbar}{m} 2\pi n$$

ОСНОВНОГО СОСТОЯНИЯ.

Вихрь в сверхтекучей жидкости как топологический дефект.

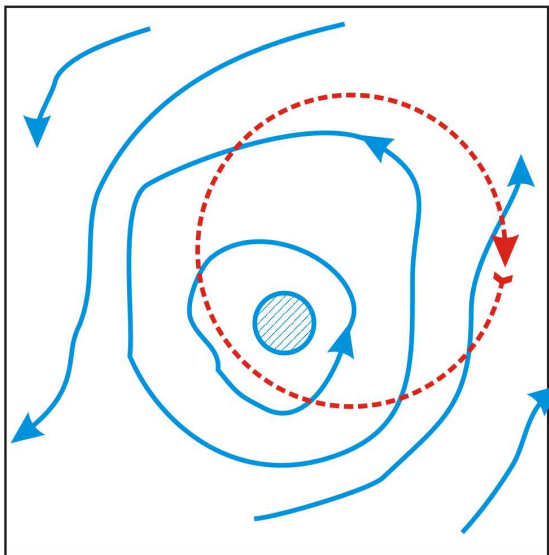
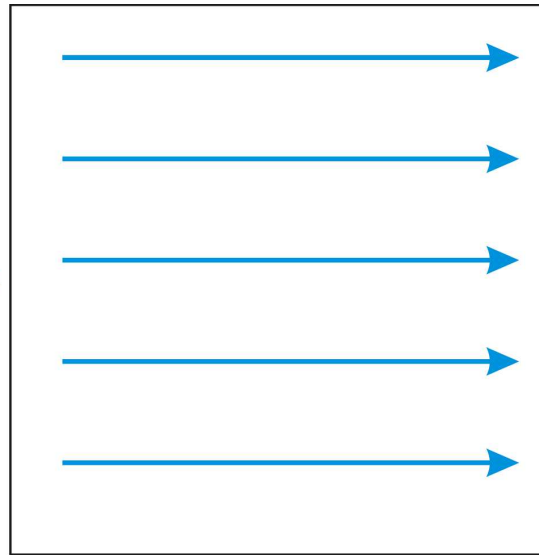
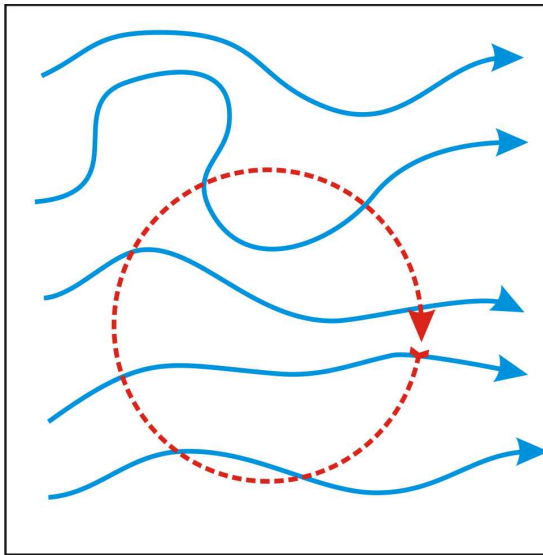


$$K = \int \frac{\rho_s V_s^2}{2} dV$$

$$\vec{V}_s = \frac{\hbar}{m} \vec{\nabla} \Phi$$

$$\oint \vec{V}_s \cdot d\vec{l} = \frac{\hbar}{m} 2\pi n$$

Вихрь в сверхтекучей жидкости как топологический дефект.



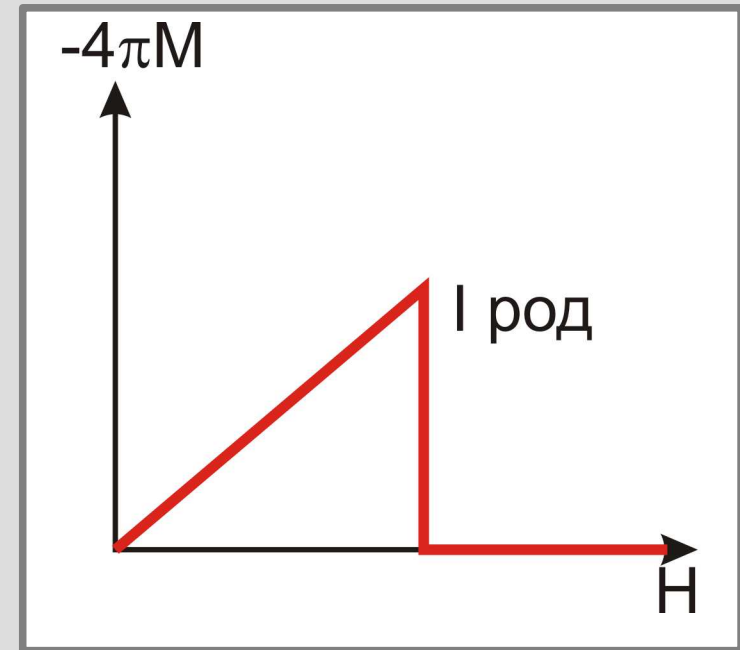
Хотя вихревое состояние и не выгодно по энергии оно защищено от произвольного «распада», есть топологический заряд и его «закон сохранения»

$$K = \int \frac{\rho_s V_s^2}{2} dV$$
$$\vec{V}_s = \frac{\hbar}{m} \vec{\nabla} \Phi$$
$$\oint \vec{V}_s d\vec{l} = \frac{\hbar}{m} 2\pi n$$

Часть 2. Уравнения Лондонов

Связь свободной энергии сверхпроводника с полем разрушения сверхпроводимости.

Сверхпроводник первого рода
идеальный диамагнетик вплоть
до поля разрушения
сверхпроводимости.



$$F_s(H, T) = F_s(H=0, T) + \frac{1}{8\pi} H^2 = F_{s0}(T) + \frac{1}{8\pi} H^2$$

Уравнения Лондонов.

двухжидкостная модель+
модель свободных электронов:

$$n = n_n + n_s$$

Уравнения Лондонов.

двухжидкостная модель+
модель свободных электронов:

$$n = n_n + n_s$$

$$\begin{aligned}\vec{j}_s &= -e n_s \vec{V}_s \\ m \frac{d \vec{V}_s}{d t} &= -e \vec{E} \\ \frac{d \vec{j}_s}{d t} &= \frac{n_s e^2}{m} \vec{E}\end{aligned}$$

Уравнения Лондонов.

двухжидкостная модель+
модель свободных электронов:

$$n = n_n + n_s$$

$$\begin{aligned}\vec{j}_s &= -e n_s \vec{V}_s \\ m \frac{d \vec{V}_s}{d t} &= -e \vec{E} \\ \frac{d \vec{j}_s}{d t} &= \frac{n_s e^2}{m} \vec{E}\end{aligned}$$

Первое
уравнение
Лондонов

Уравнения Лондонов.

двухжидкостная модель+
модель свободных электронов:

$$n = n_n + n_s$$

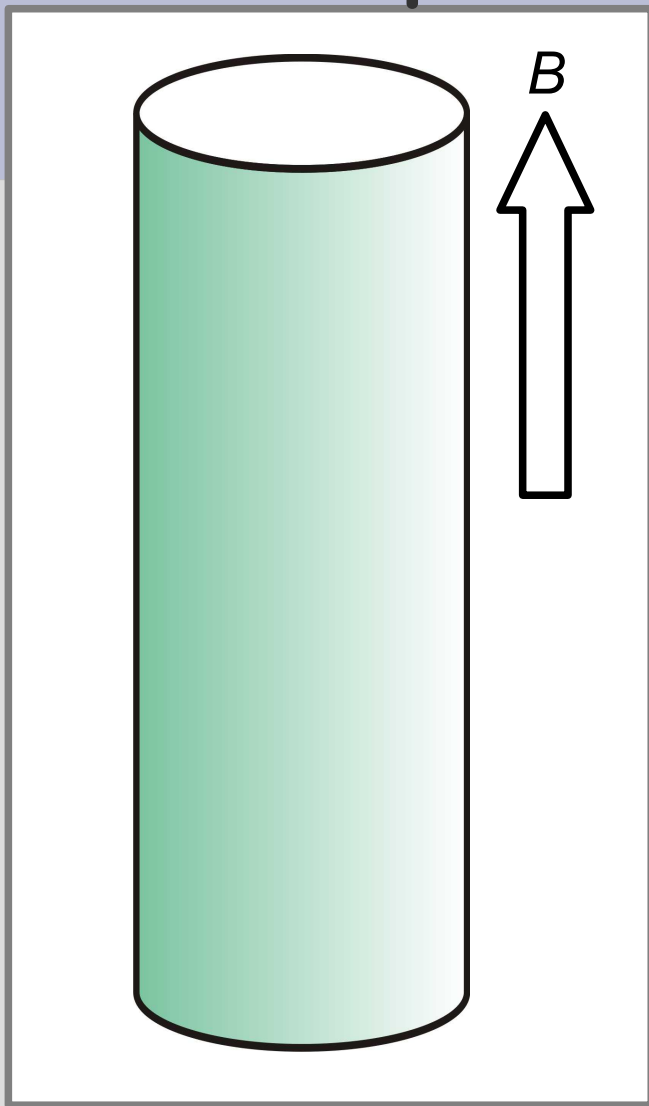
В стационарных условиях
напряжённость
электрического поля внутри
сверхпроводника равна
нулю

$$\vec{j}_s =$$
$$\frac{d}{dt}$$
$$\frac{1}{m}$$

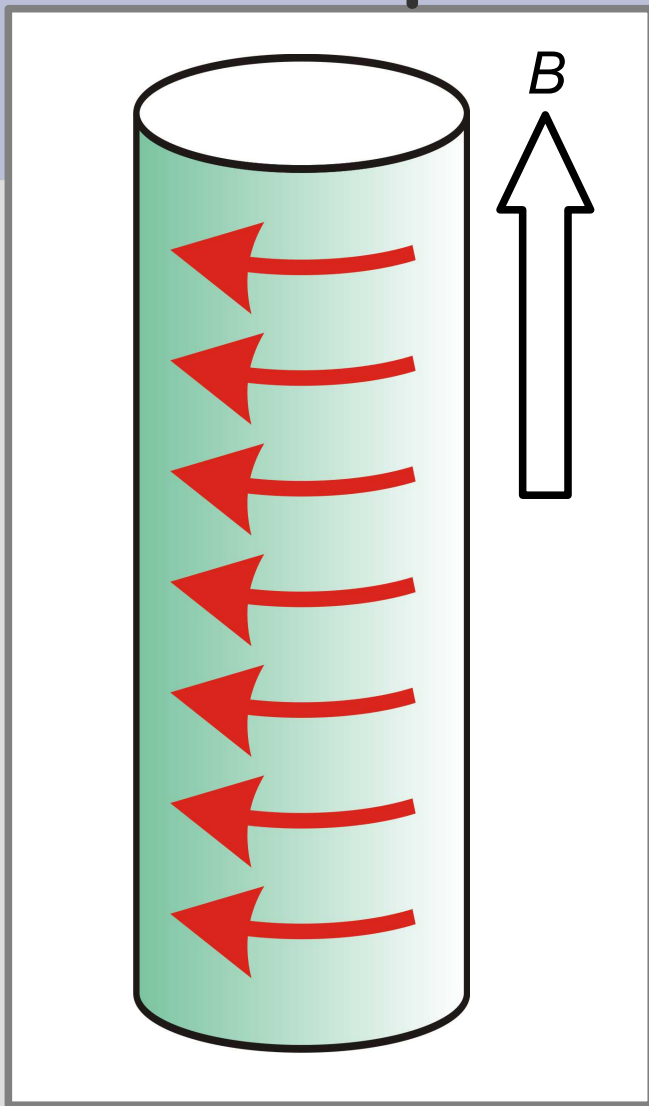
$$\frac{d \vec{j}_s}{d t} = \frac{n_s e^2}{m} \vec{E}$$

Первое
уравнение
Лондонов

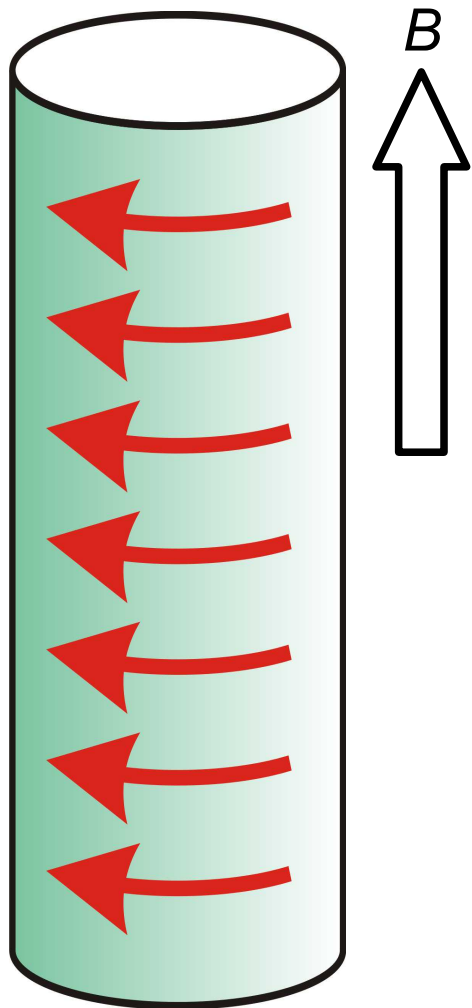
Уравнения Лондонов.



Уравнения Лондонов.



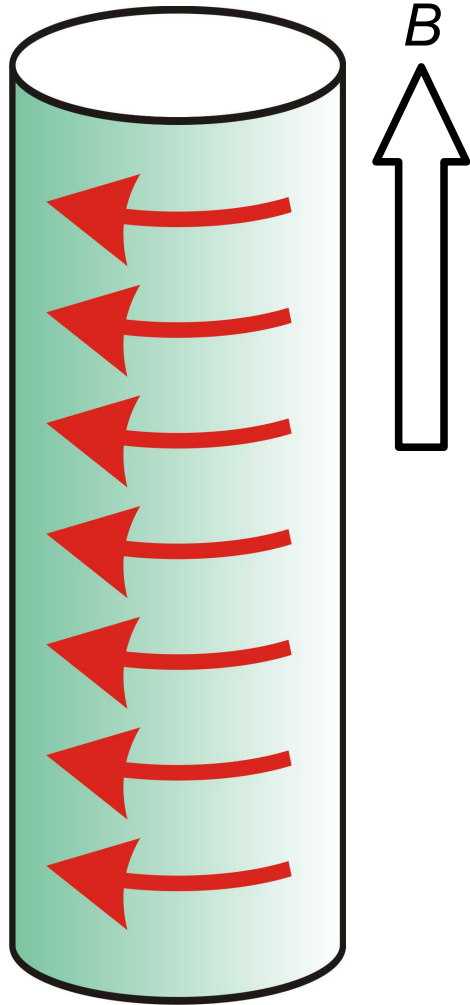
Уравнения Лондонов.



$$\text{rot } \vec{H} = \frac{4\pi}{c} \vec{j}_s$$

$$W_{\text{кин}} = n_s \frac{m V_s^2}{2} = \frac{m}{2e^2 n_s} j_s^2$$

Уравнения Лондонов.



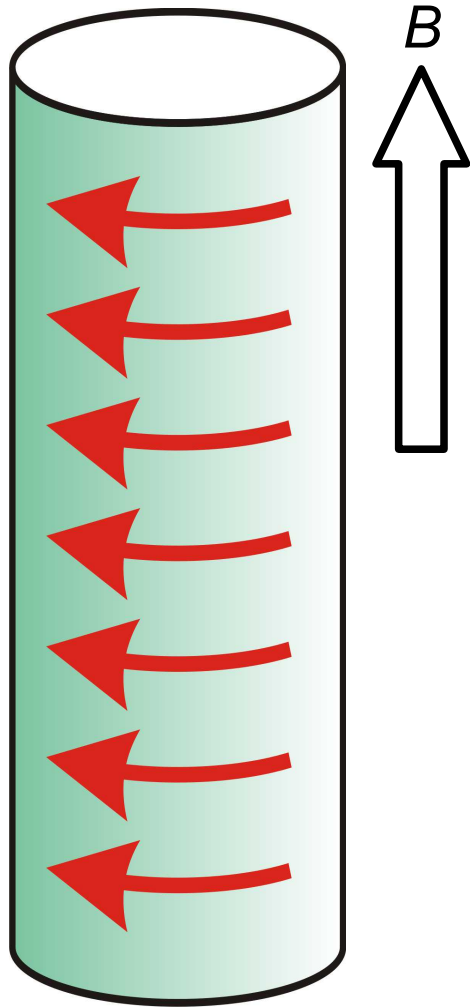
$$\text{rot } \vec{H} = \frac{4\pi}{c} \vec{j}_s$$

$$W_{\text{кин}} = n_s \frac{m V_s^2}{2} = \frac{m}{2e^2 n_s} j_s^2$$

$$W_{\text{кин}} = \frac{\lambda^2}{8\pi} (\text{rot } \vec{H})^2$$

$$\lambda^2 = \frac{mc^2}{4\pi n_s e^2}$$

Уравнения Лондонов.



$$\operatorname{rot} \vec{H} = \frac{4\pi}{c} \vec{j}_s$$

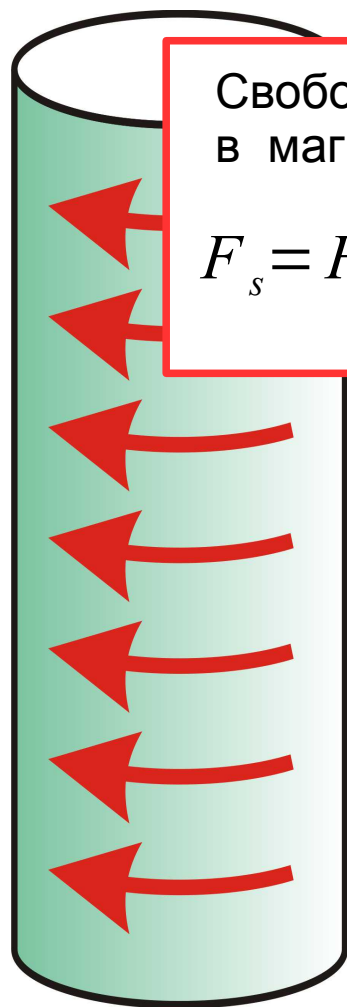
$$W_{\text{кин}} = n_s \frac{m V_s^2}{2} = \frac{m}{2e^2 n_s} j_s^2$$

$$W_{\text{кин}} = \frac{\lambda^2}{8\pi} (\operatorname{rot} \vec{H})^2$$

$$\lambda^2 = \frac{mc^2}{4\pi n_s e^2}$$

$$\lambda = \sqrt{\frac{mc^2}{4\pi n_s e^2}} \sim \sqrt{\frac{mc^2}{Ry}} \frac{1}{\sqrt{n_s a_0}} \sim 10^{-5} \text{ см} = 100 \text{ нм}$$

Уравнения Лондонов.



Свободная энергия сверхпроводника
в магнитном поле

$$F_s = F_{s0} + \frac{1}{8\pi} \int (H^2 + \lambda^2 \text{rot}^2 \vec{H}) dV$$

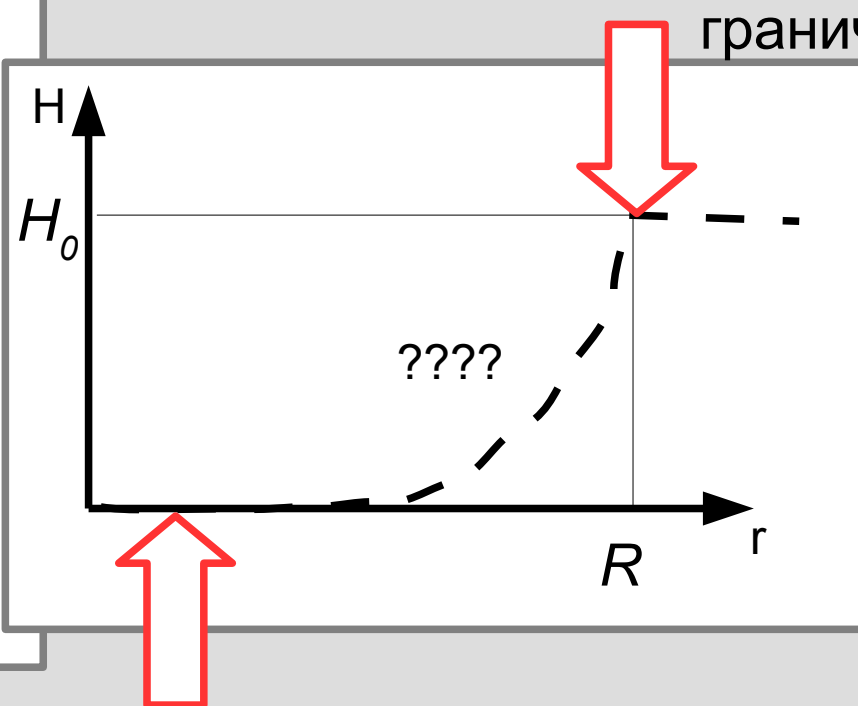
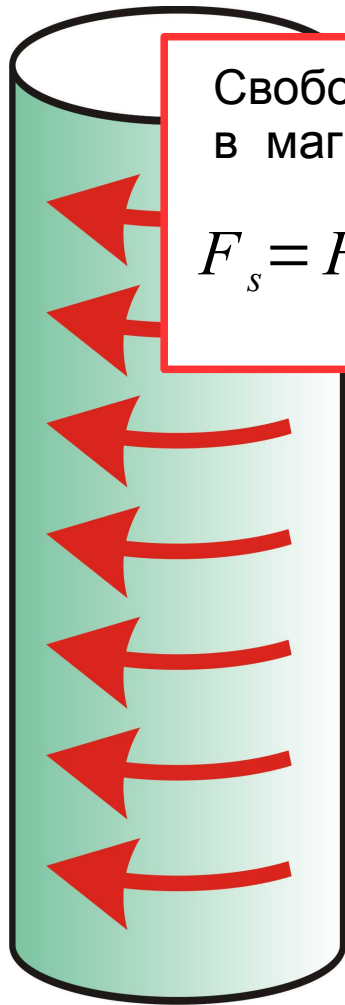
$$W_{\text{кин}} = \frac{\lambda^2}{8\pi} (\text{rot} \vec{H})^2$$

$$\lambda^2 = \frac{mc^2}{4\pi n_s e^2}$$

Уравнения Лондонов.

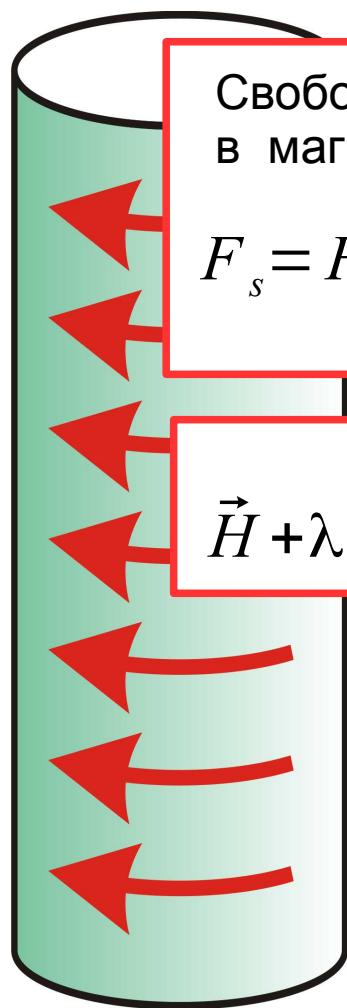
Свободная энергия сверхпроводника
в магнитном поле

$$F_s = F_{s0} + \frac{1}{8\pi} \int (H^2 + \lambda^2 \text{rot}^2 \vec{H}) dV$$



Эффект Мейснера

Уравнения Лондонов.



Свободная энергия сверхпроводника
в магнитном поле

$$F_s = F_{s0} + \frac{1}{8\pi} \int (H^2 + \lambda^2 \text{rot}^2 \vec{H}) dV$$

$$\vec{H} + \lambda^2 \text{rot rot } \vec{H} = 0$$

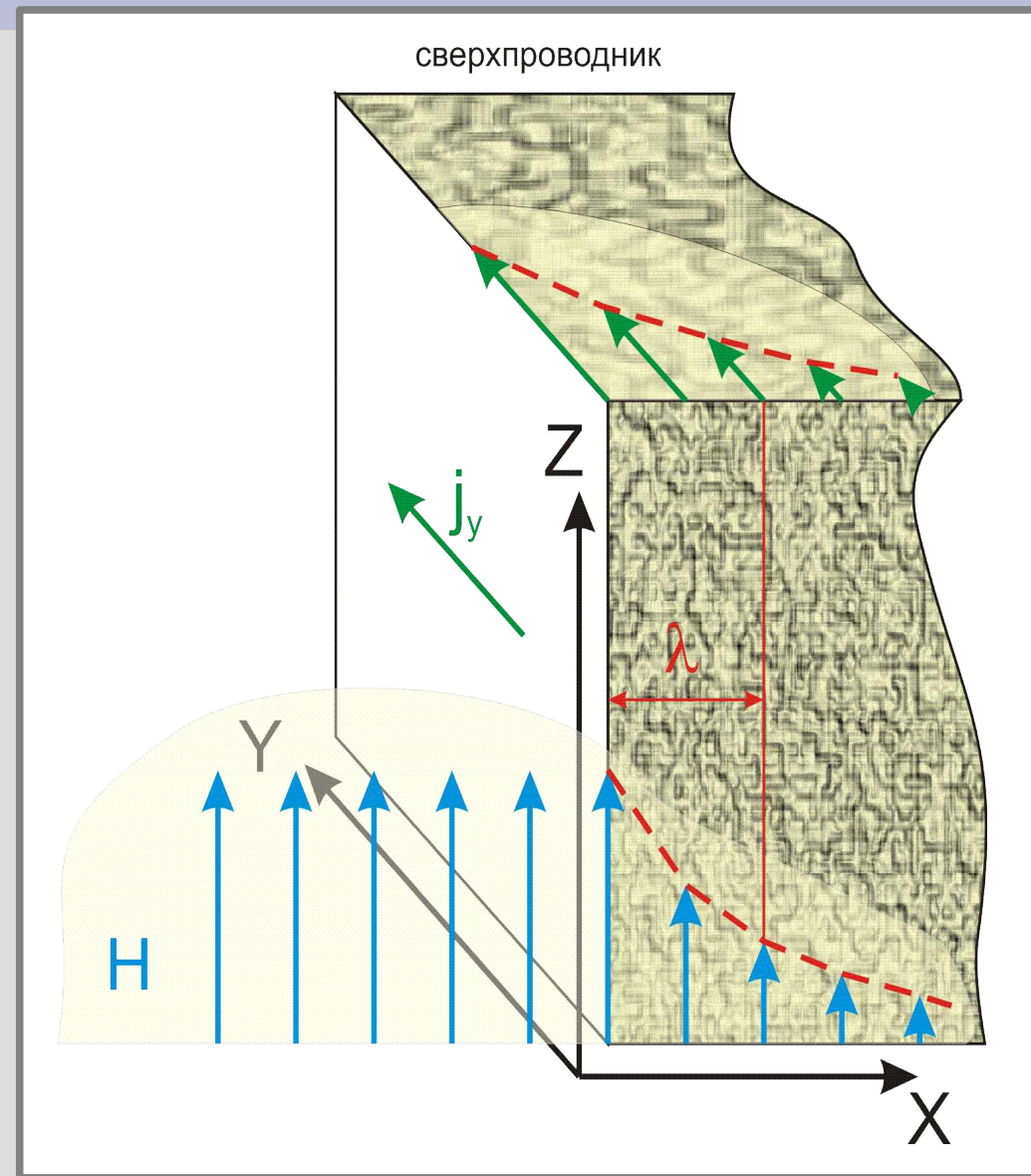
Второе уравнение
Лондонов

Проникновение поля в сверхпроводник.

$$\vec{H} + \lambda^2 \operatorname{rot} \operatorname{rot} \vec{H} = 0$$

$$\text{OZ: } H_z - \lambda^2 \frac{\partial^2 H_z}{\partial x^2} = 0$$

$$H_z(x) = H_z(0) e^{-x/\lambda}$$



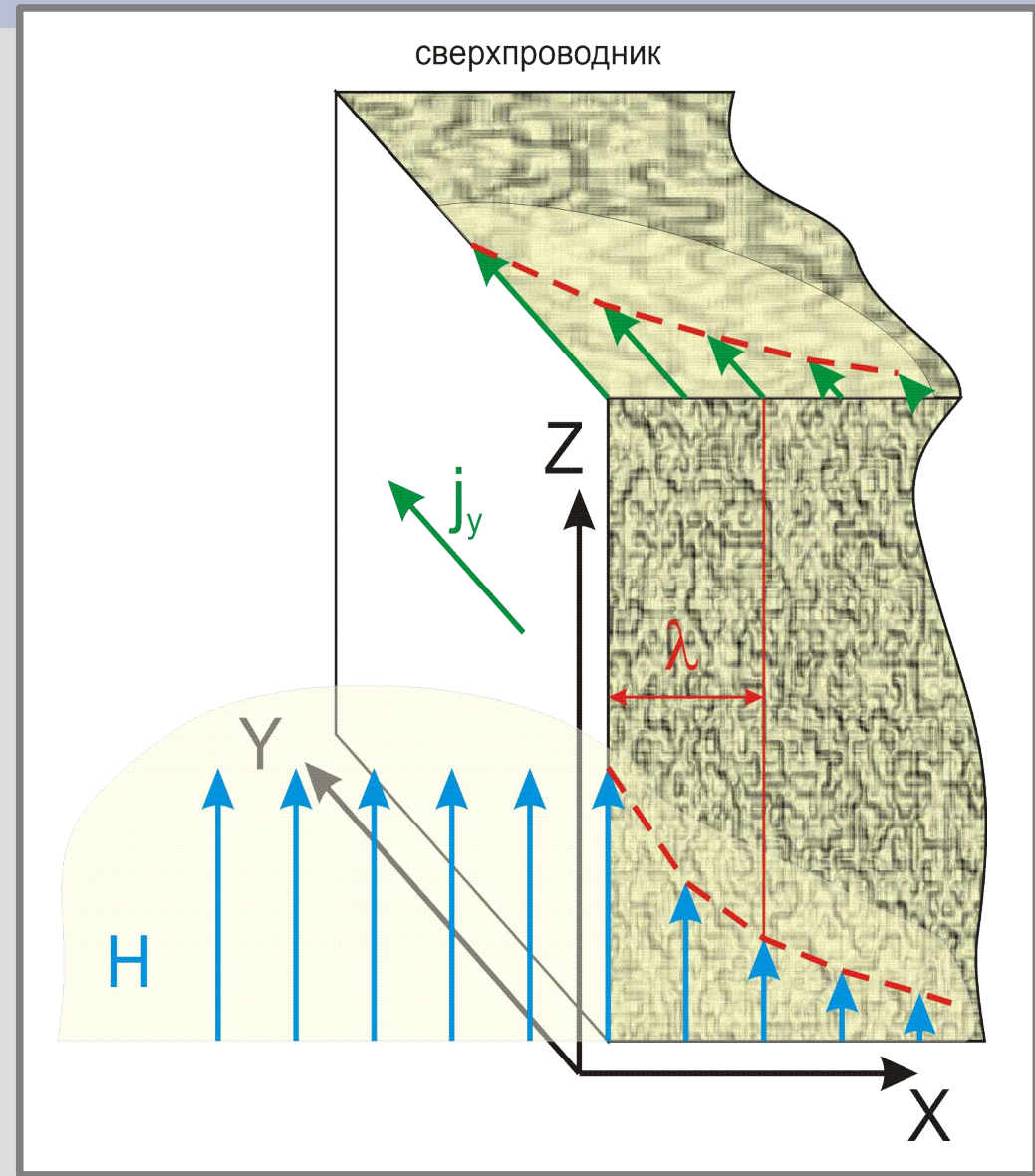
Проникновение поля в сверхпроводник.

$$\vec{H} + \lambda^2 \operatorname{rot} \operatorname{rot} \vec{H} = 0$$

$$\text{OZ: } H_z - \lambda^2 \frac{\partial^2 H_z}{\partial x^2} = 0$$

$$H_z(x) = H_z(0) e^{-x/\lambda}$$

$$j_y(x) = -\frac{c}{4\pi} \frac{\partial H_z}{\partial x} = j_0 e^{-x/\lambda}$$



Часть 3. Квантовое обобщение уравнения Лондонов. Квантование потока.

Квантовое обобщение уравнения Лондонов.

... Пусть при $T=0$ по каким-то причинам макроскопически большое количество электронов оказывается в одном состоянии...

$$\Psi(r) = C \sqrt{n_s} e^{i\Theta(\vec{r})}$$

Квантовое обобщение уравнения Лондонов.

... Пусть при $T=0$ по каким-то причинам макроскопически большое количество электронов оказывается в одном состоянии...

$$\Psi(r) = C \sqrt{n_s} e^{i\Theta(\vec{r})}$$

в магнитном поле $\vec{p} = \mu \vec{V}_s - \frac{q}{c} \vec{A}$

квантовая механика $\hat{p} \Psi = (\hbar \vec{\nabla} \Theta) \Psi$

Квантовое обобщение уравнения Лондонов.

... Пусть при $T=0$ по каким-то причинам макроскопически большое количество электронов оказывается в одном состоянии...

$$\Psi(r) = C \sqrt{n_s} e^{i\Theta(\vec{r})}$$

в магнитном поле

$$\vec{p} = \mu \vec{V}_s - \frac{q}{c} \vec{A}$$

квантовая механика

$$\hat{p} \Psi = (\hbar \vec{\nabla} \Theta) \Psi$$



$$\vec{V}_s = \frac{\hbar}{\mu} \vec{\nabla} \Theta + \frac{q}{\mu c} \vec{A}$$

Квантовое обобщение уравнения Лондонов.

... Пусть при $T=0$ по каким-то причинам макроскопически большое количество электронов оказывается в одном состоянии...

$$\Psi(r) = C \sqrt{n_s} e^{i\Theta(\vec{r})}$$

в магнитном поле $\vec{p} = \mu \vec{V}_s - \frac{q}{c} \vec{A}$
 квантовая механика $\hat{p} \Psi = (\hbar \vec{\nabla} \Theta) \Psi$



$$\vec{V}_s = \frac{\hbar}{\mu} \vec{\nabla} \Theta + \frac{q}{\mu c} \vec{A}$$

$$\vec{j}_s = -n q \vec{V}_s = -\frac{c}{4\pi\lambda^2} \left(\vec{A} + \frac{\Phi_0}{2\pi} \vec{\nabla} \Theta \right), \quad \Phi_0 = \frac{2\pi\hbar c}{q}$$

$$\frac{4\pi}{c} \vec{j}_s = \text{rot } \vec{H} = \text{rot rot } \vec{A}$$

Квантовое обобщение уравнения Лондонов.

... Пусть при $T=0$ по каким-то причинам макроскопически большое количество электронов оказывается в одном состоянии...

$$\Psi(r) = C \sqrt{n_s} e^{i\Theta(\vec{r})}$$

в магнитном поле

$$\vec{p} = \mu \vec{V}_s - \frac{q}{c} \vec{A}$$

квантовая механика

$$\hat{p} \Psi = (\hbar \vec{\nabla} \Theta) \Psi$$



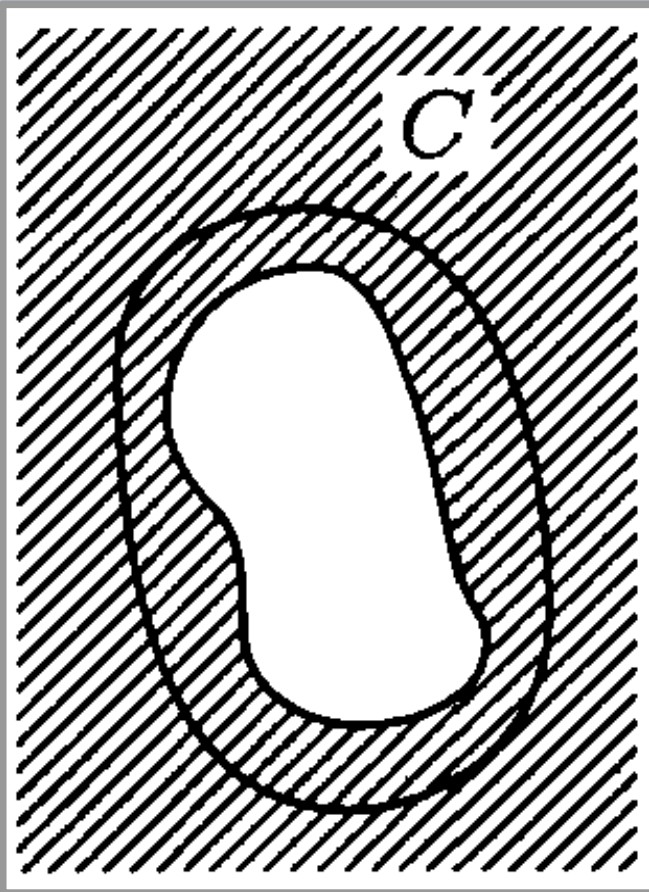
$$\vec{V}_s = \frac{\hbar}{\mu} \vec{\nabla} \Theta + \frac{q}{\mu c} \vec{A}$$

$$\lambda^2 \text{rot rot } \vec{A} + \vec{A} = -\frac{\Phi_0}{2\pi} \vec{\nabla} \Theta$$

$$\vec{j}_s = -nq \vec{V}_s = -\frac{c}{4\pi\lambda^2} \left(\vec{A} + \frac{\Phi_0}{2\pi} \vec{\nabla} \Theta \right), \quad \Phi_0 = \frac{2\pi\hbar c}{q}$$

$$\frac{4\pi}{c} \vec{j}_s = \text{rot } \vec{H} = \text{rot rot } \vec{A}$$

Квантование магнитного потока.



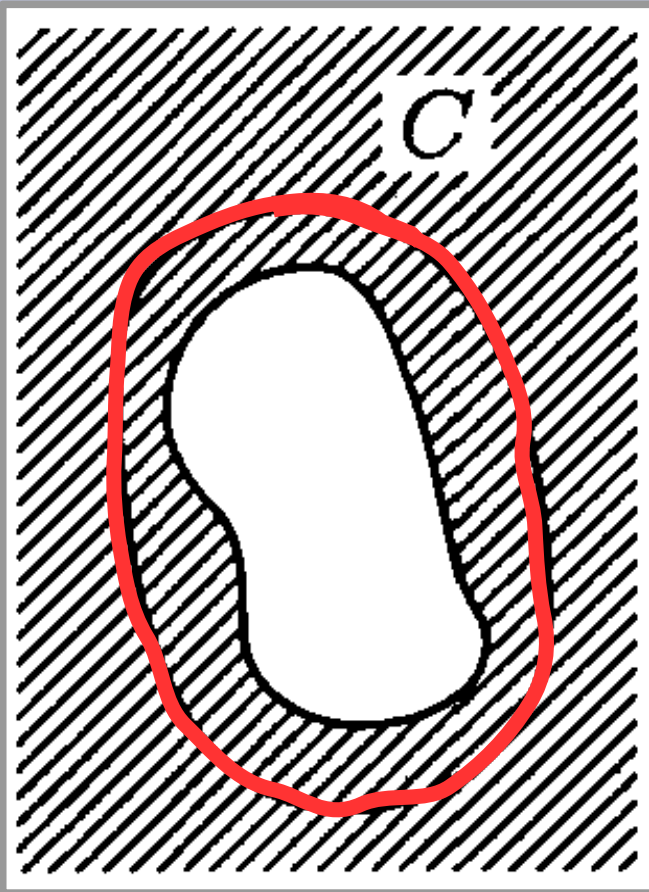
$$\vec{j}_s = -\frac{n_s q}{\mu} \left(\hbar \vec{\nabla} \Theta + \frac{q}{c} \vec{A} \right) = -\frac{c}{4\pi \lambda^2} \left(\vec{A} + \frac{\Phi_0}{2\pi} \vec{\nabla} \Theta \right)$$

Цилиндрическая полость в массивном сверхпроводнике и контур обхода этой полости вдали от границ. Из книги Шмидта

Квантование сверхпроводящего потока.

$$j_s = 0$$

$$\vec{j}_s = -\frac{n_s q}{\mu} \left(\hbar \vec{\nabla} \Theta + \frac{q}{c} \vec{A} \right) = -\frac{c}{4\pi\lambda^2} \left(\vec{A} + \frac{\Phi_0}{2\pi} \vec{\nabla} \Theta \right)$$

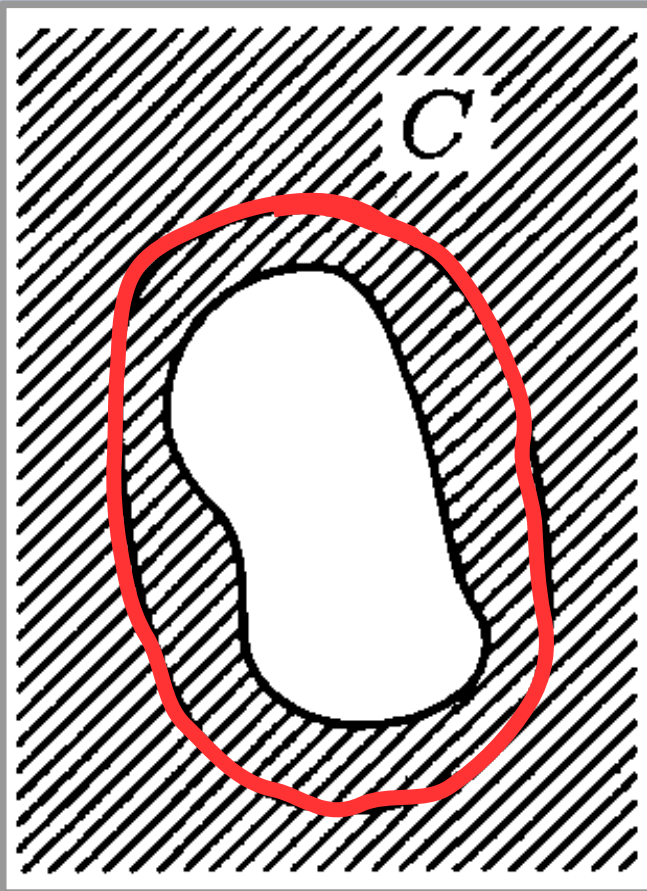


Цилиндрическая полость в массивном сверхпроводнике и контур обхода этой полости вдали от границ. Из книги Шмидта

Квантование магнитного потока.

$$j_s = 0$$

$$\vec{j}_s = -\frac{n_s q}{\mu} \left(\hbar \vec{\nabla} \Theta + \frac{q}{c} \vec{A} \right) = -\frac{c}{4\pi \lambda^2} \left(\vec{A} + \frac{\Phi_0}{2\pi} \vec{\nabla} \Theta \right)$$



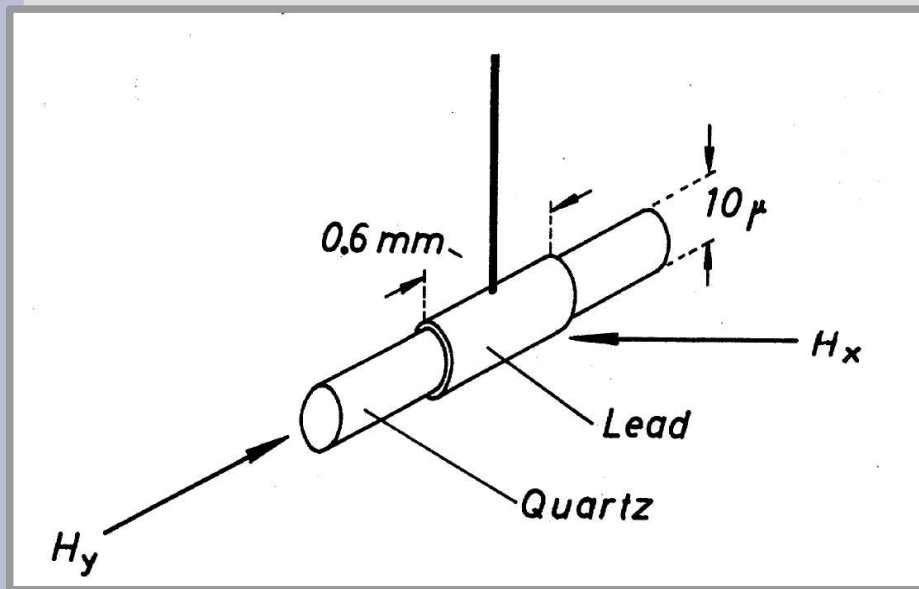
$$n \Phi_0 = \oint \vec{A} d\vec{l} = \int \text{rot } \vec{A} d\vec{S} = \Phi$$

$$\Phi_0 = \frac{2\pi \hbar c}{q}$$

$$\frac{\hbar c}{e} = 4.12 \cdot 10^{-7} \text{ Гс} \cdot \text{см}^2$$

Цилиндрическая полость в массивном сверхпроводнике и контур обхода этой полости вдали от границ. Из книги Шмидта

Эксперимент по измерению кванта потока.

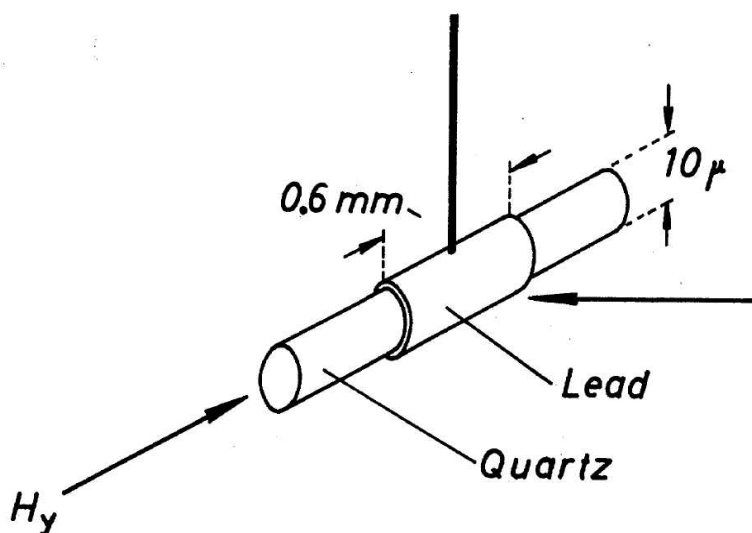


$$\Phi_0 = \frac{2\pi\hbar c}{q}$$

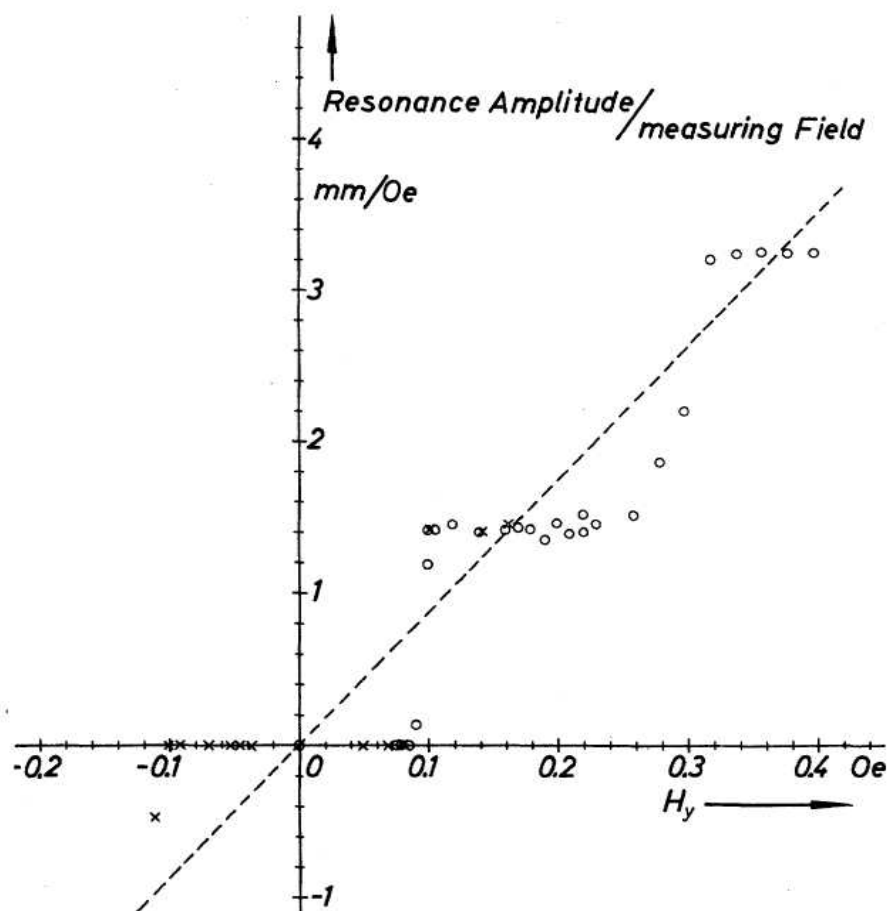
Эксперимент Долла и Небауэра по измерению квантования потока в сверхпроводящем кольце.
Слева: схема образца и прикладываемых полей.
Справа: зависимость нормированного отклика на вынуждающее поле от поля, создающего исходный магнитный поток.

R.Doll and M.Naebauer, Experimental proof of magnetic flux quantization in a superconducting ring, Physical Review Letters, 7, 51 (1961)

Эксперимент по измерению кванта потока.



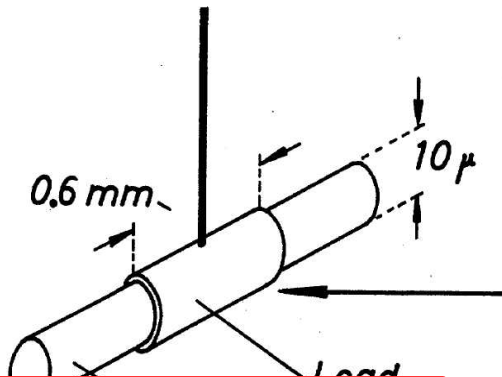
$$\Phi_0 = \frac{2\pi\hbar c}{a}$$



Эксперимент Долла и Небауэра по измерению квантования потока в сверхпроводящем кольце.
Слева: схема образца и прикладываемых полей.
Справа: зависимость нормированного отклика на вынуждающее поле от поля, создающего исходный магнитный поток.

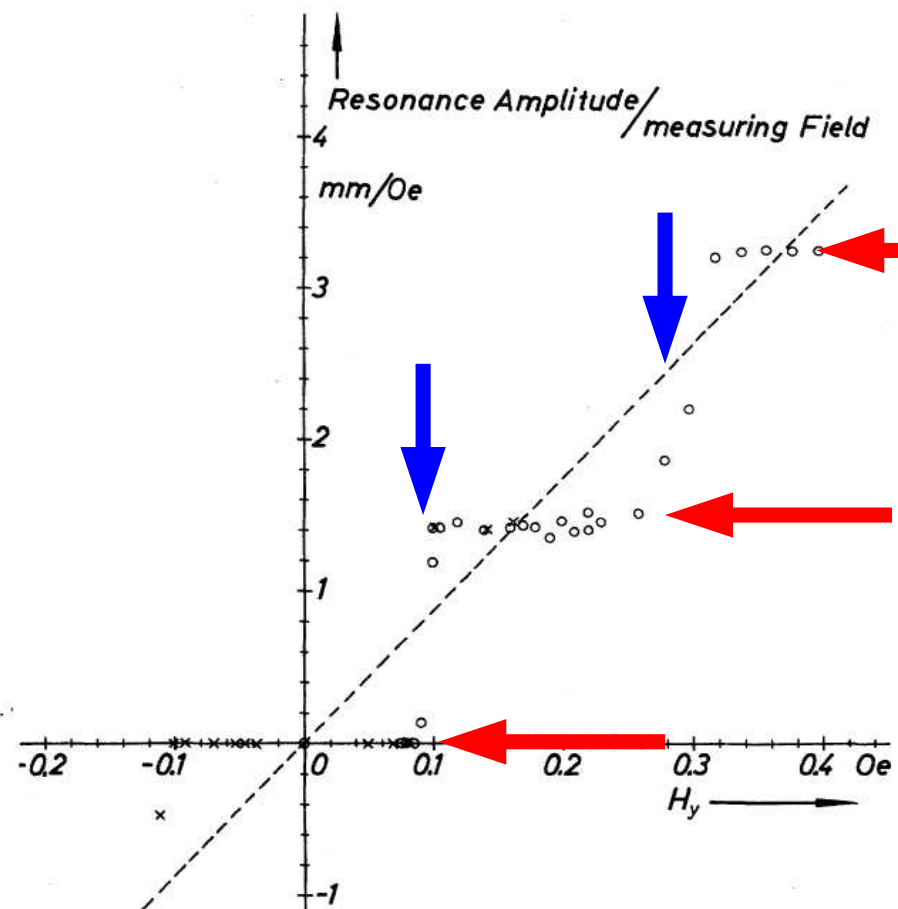
R.Doll and M.Naebauer, Experimental proof of magnetic flux quantization in a superconducting ring, Physical Review Letters, 7, 51 (1961)

Эксперимент по измерению кванта потока.

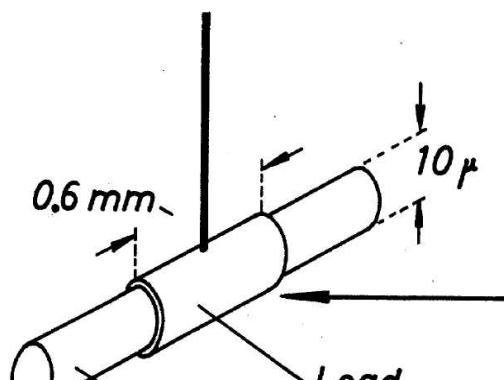


$$\Phi_0 = \frac{2\pi\hbar c}{a}$$

$$\Delta H = 0.2 \text{ Э}$$



Эксперимент по измерению кванта потока.

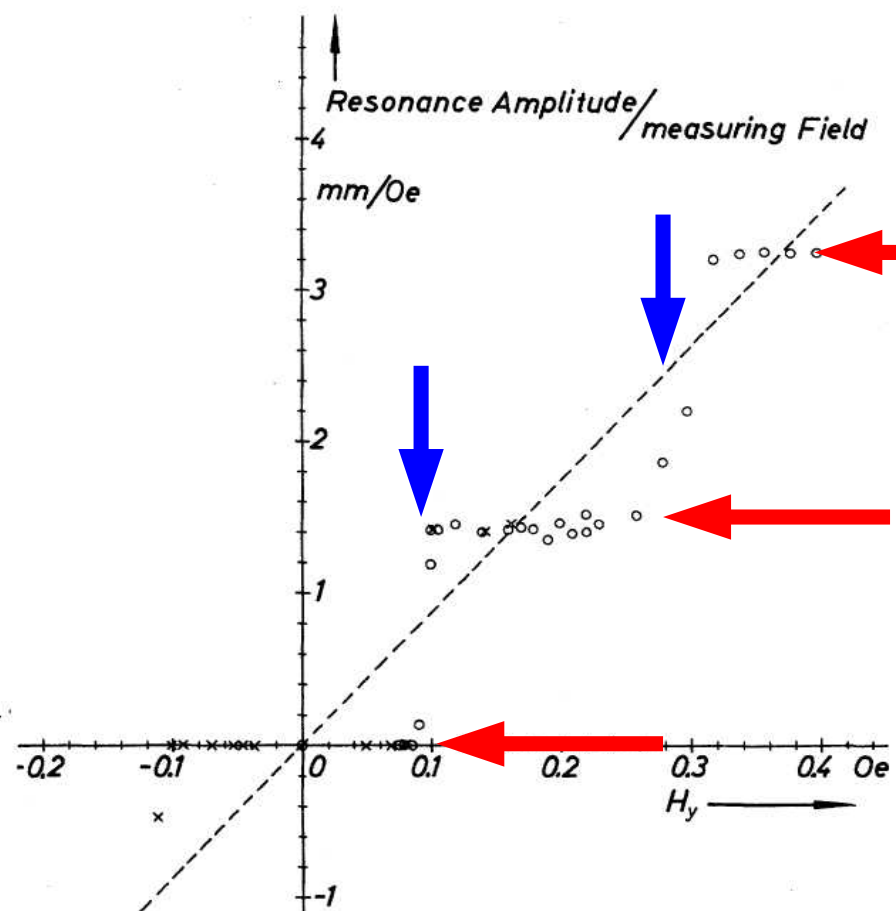


$$\Phi_0 = \frac{2\pi\hbar c}{a}$$

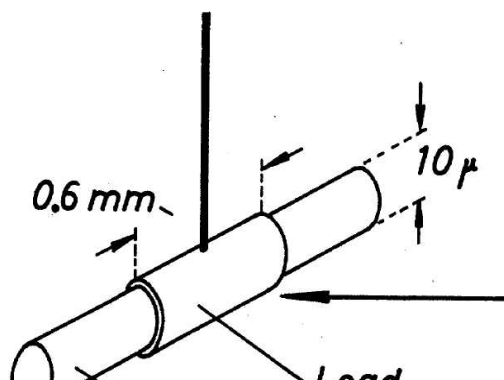
$$\Delta H = 0.2 \text{ Э}$$

$$\begin{aligned} \Delta \Phi &= \frac{\pi d^2}{4} \Delta B = \\ &= 1.6 \cdot 10^{-7} \text{ Гс} \cdot \text{см}^2 \end{aligned}$$

$$\frac{\hbar c}{e} = 4.12 \cdot 10^{-7} \text{ Гс} \cdot \text{см}^2$$



Эксперимент по измерению кванта потока.



$$\Phi_0 = \frac{2\pi\hbar c}{a}$$

$$\Delta H = 0.2 \text{ Э}$$

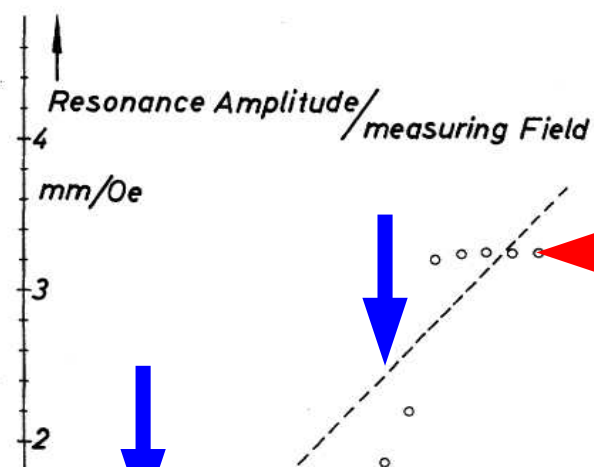
$$\Delta \Phi = \frac{\pi d^2}{4} \Delta H$$

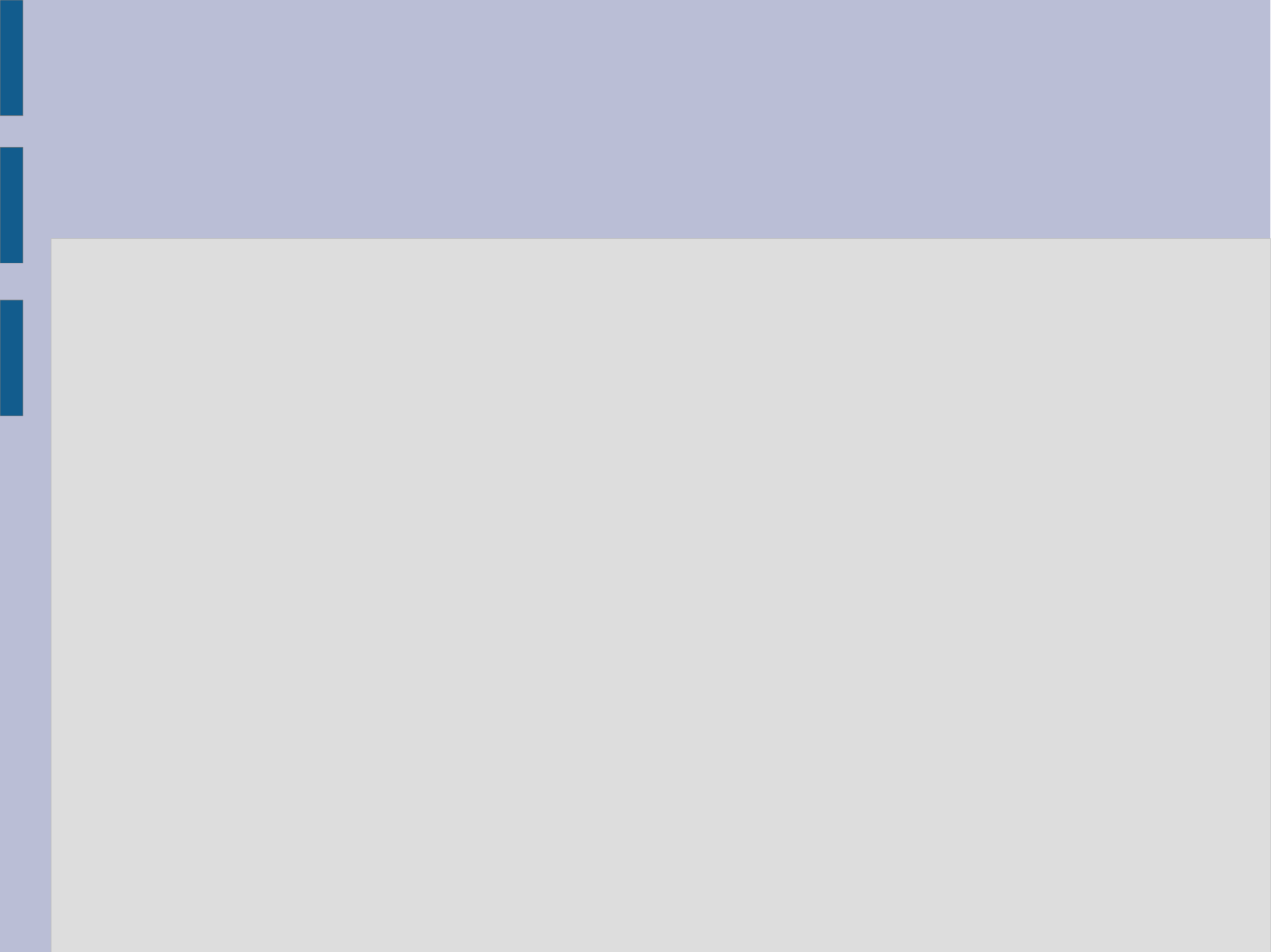
$$= 1.6 \cdot 10^{-15} \text{ Вб}$$

$$\frac{\hbar c}{e} = 4.12 \cdot 10^{-15} \text{ Вб}$$

$$\Phi_0 = \frac{\pi \hbar c}{e} = 2.06 \cdot 10^{-7} \text{ Гс} \cdot \text{см}^2 = 2.06 \cdot 10^{-15} \text{ Вб}$$

Эксперимент по измерению кванта потока показывает, что сверхпроводящий ток переносится носителями с зарядом $2e$!



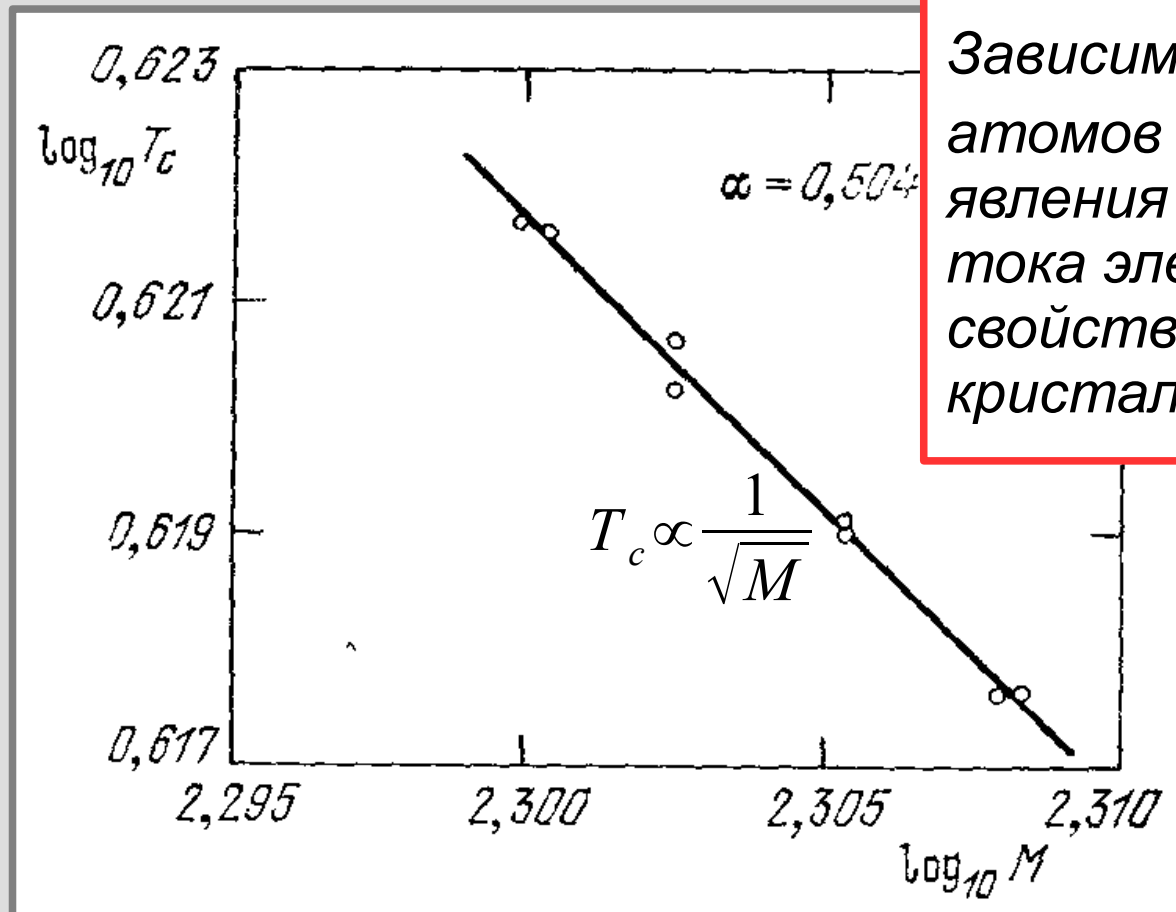


Часть 4. Элементарные возбуждения сверхпроводника и критический ток

Экспериментальные факты, лежащие в основе микроскопической модели сверхпроводника.

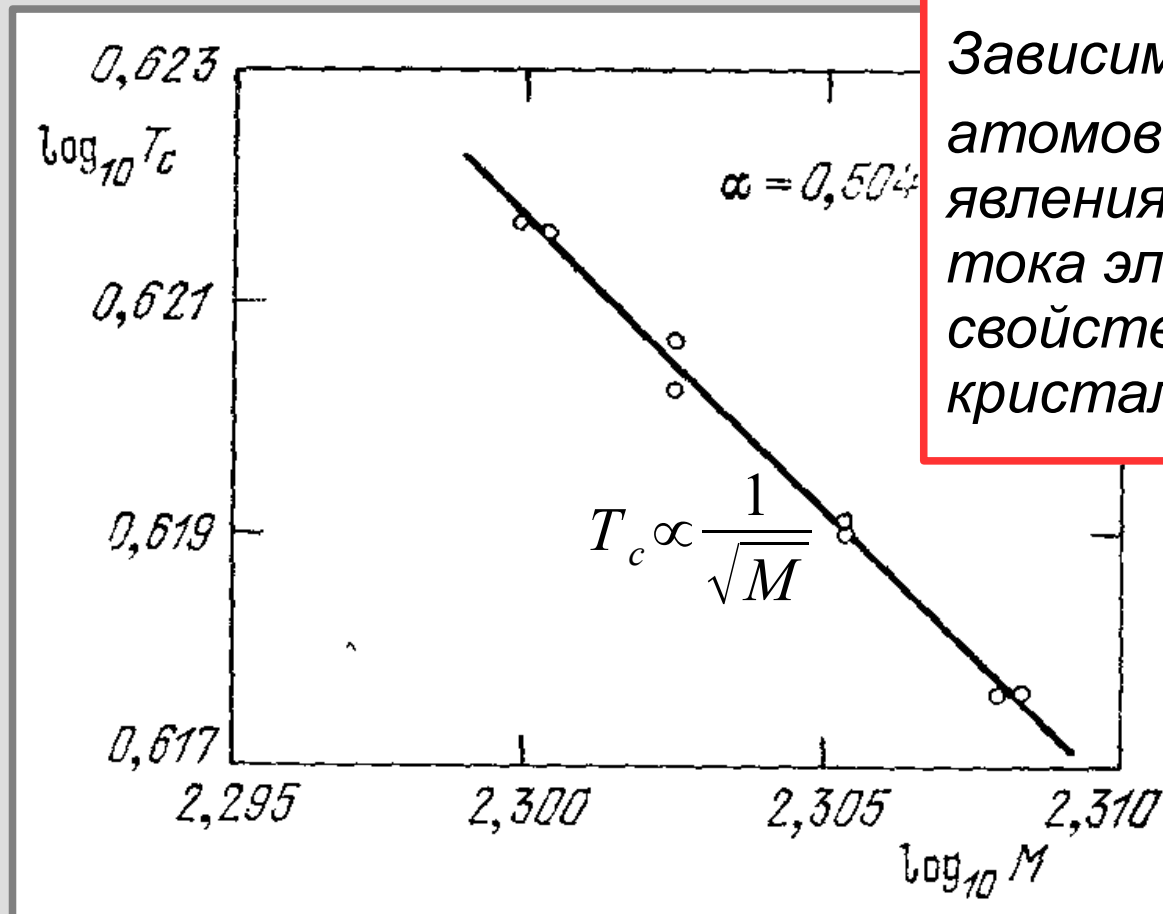
Изотоп-эффект:

Зависимость T_c от массы атомов указывает на связь явления бездиссипативного тока электронов со свойствами решётки кристалла



Зависимость температуры сверхпроводящего перехода в ртути от усреднённого массового числа изотопов в образце. Из книги Киттеля

Экспериментальные факты, лежащие в основе микроскопической модели сверхпроводника.



Изотоп-эффект:

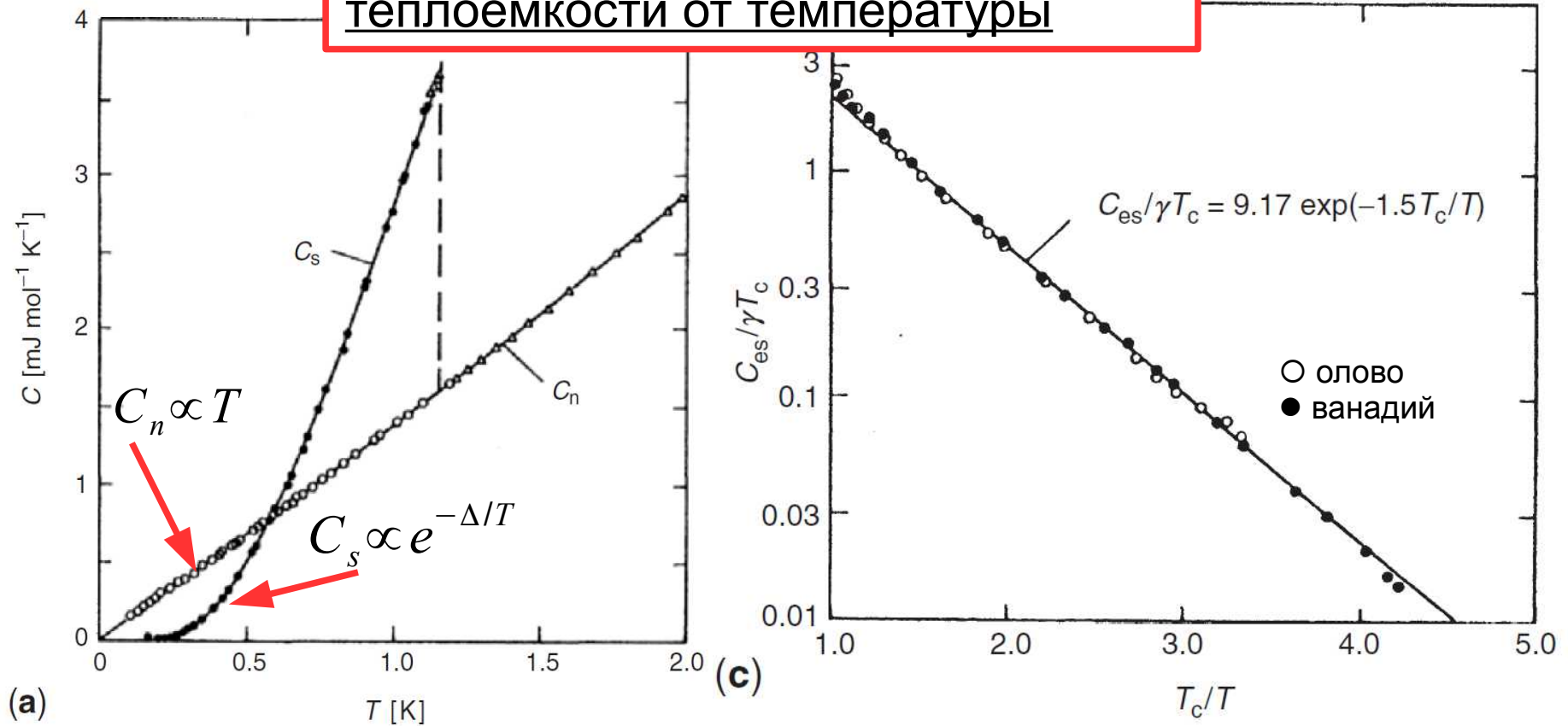
Зависимость T_c от массы атомов указывает на связь явления бездиссипативного тока электронов со свойствами решётки кристалла

$$\Theta = \frac{\hbar s}{k_B} (6\pi^2 n)^{1/3}$$
$$s \propto \sqrt{\frac{C}{M}}$$

Зависимость температуры сверхпроводящего перехода в ртути от усреднённого массового числа изотопов в образце. Из книги Киттеля

Экспериментальные факты, лежащие в основе микроскопической модели сверхпроводника.

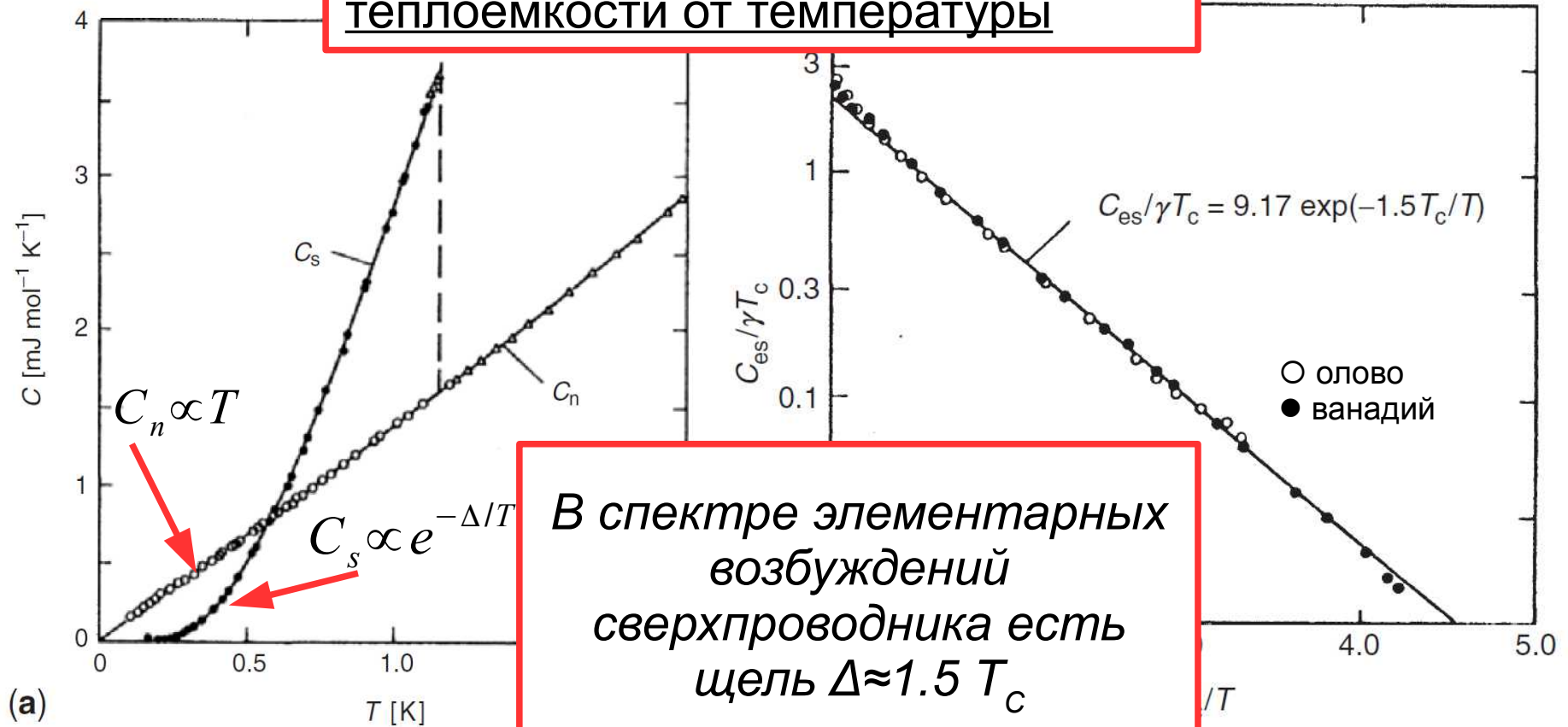
Термоактивационная зависимость теплоёмкости от температуры



Слева: электронный вклад в теплоёмкость алюминия в нормальном (открытые символы) и сверхпроводящем (закрашенные) состоянии. Измерения в нормальном состоянии производились в поле выше критического. Справа: электронный вклад в теплоёмкость ванадия (закрашенные символы) и олова (открытые символы) как функция нормированной температуры.

Экспериментальные факты, лежащие в основе микроскопической модели сверхпроводника.

Термоактивационная зависимость теплоёмкости от температуры

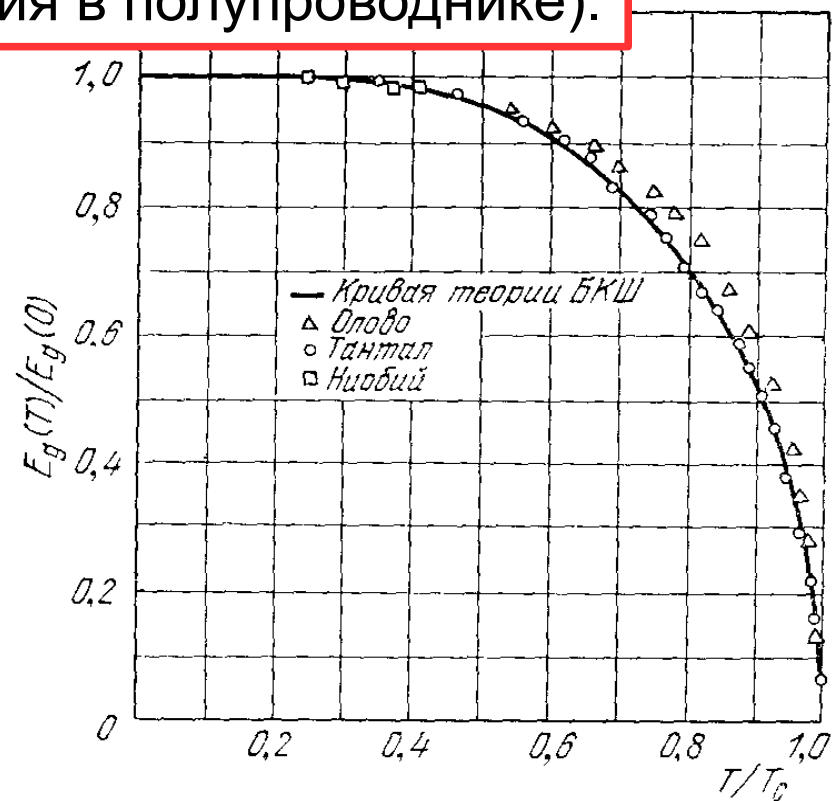
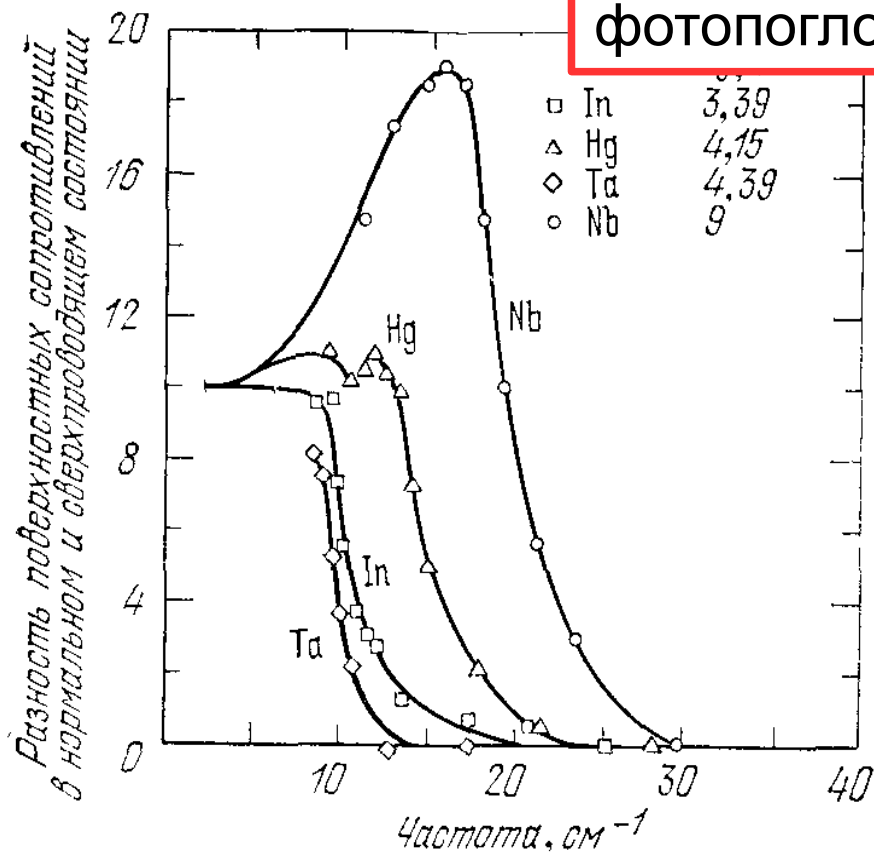


В спектре элементарных возбуждений сверхпроводника есть щель $\Delta \approx 1.5 T_c$

Слева: электронный вклад в теплоёмкость алюминия в нормальном (открытые символы) и сверхпроводящем (закрашенные) состоянии. Измерения в нормальном состоянии производились в поле выше критического. Справа: электронный вклад в теплоёмкость ванадия (закрашенные символы) и олова (открытые символы) как функция нормированной температуры.

Экспериментальные факты, лежащие в основе микроскопической модели сверхпроводника.

Высокочастотное поглощение в сверхпроводниках (аналог фотопоглощения в полупроводнике).

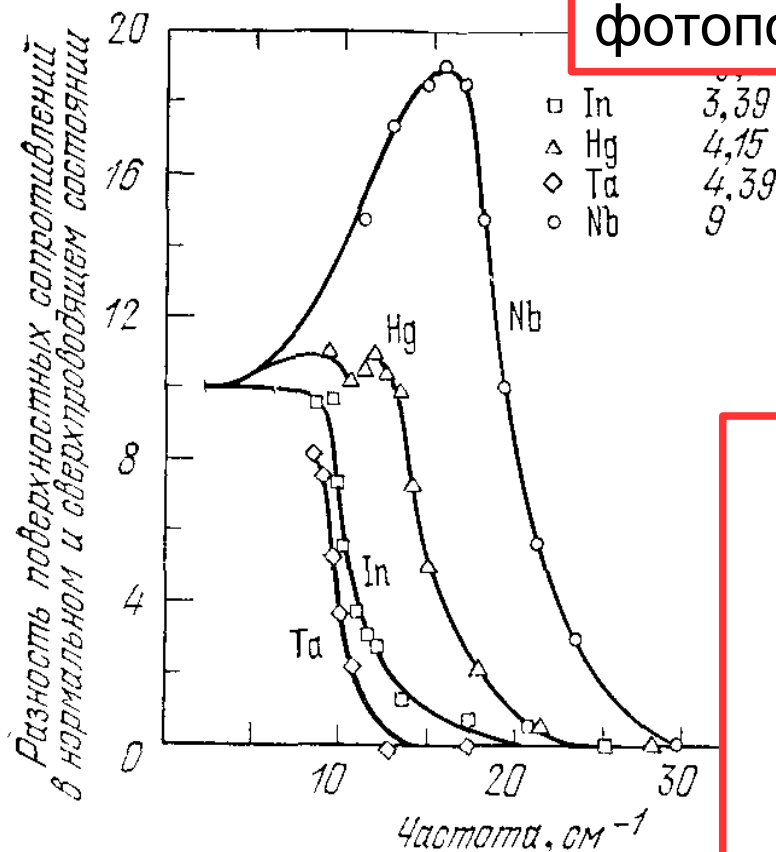


Зависимость щели в спектре сверхпроводника от температуры.

Разности поверхностных сопротивлений сверхпроводящей и нормальной фаз в СВЧ диапазоне.

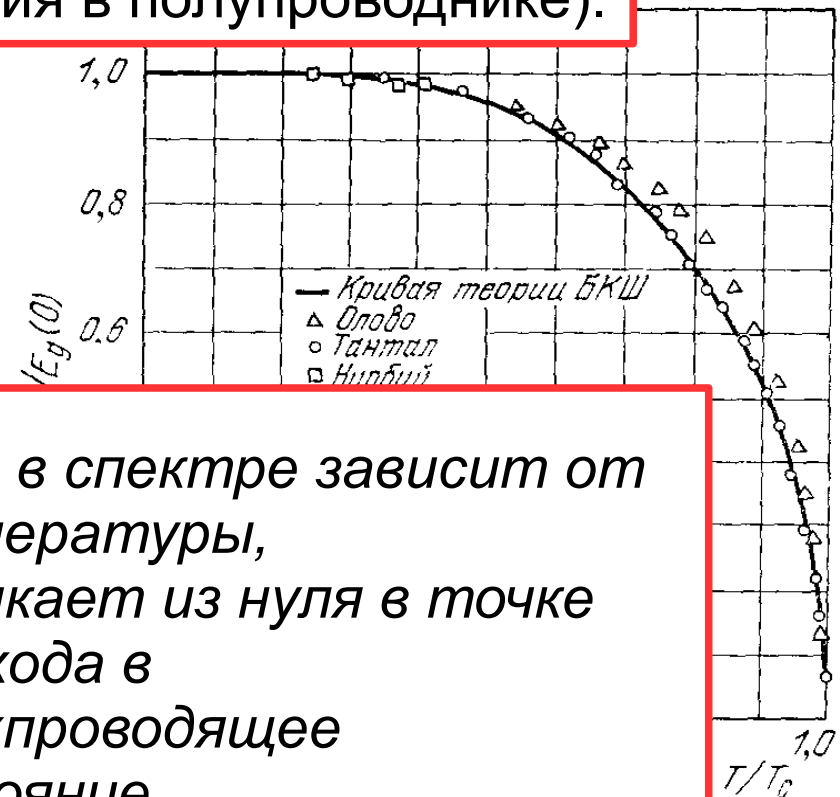
Экспериментальные факты, лежащие в основе микроскопической модели сверхпроводника.

Высокочастотное поглощение в сверхпроводниках (аналог фотопоглощения в полупроводнике).



Разности поверхностных сопротивлений сверхпроводящей нормальной фаз в СВЧ диапазоне.

Ч.Киттель, Введение в физику твёрдого тела



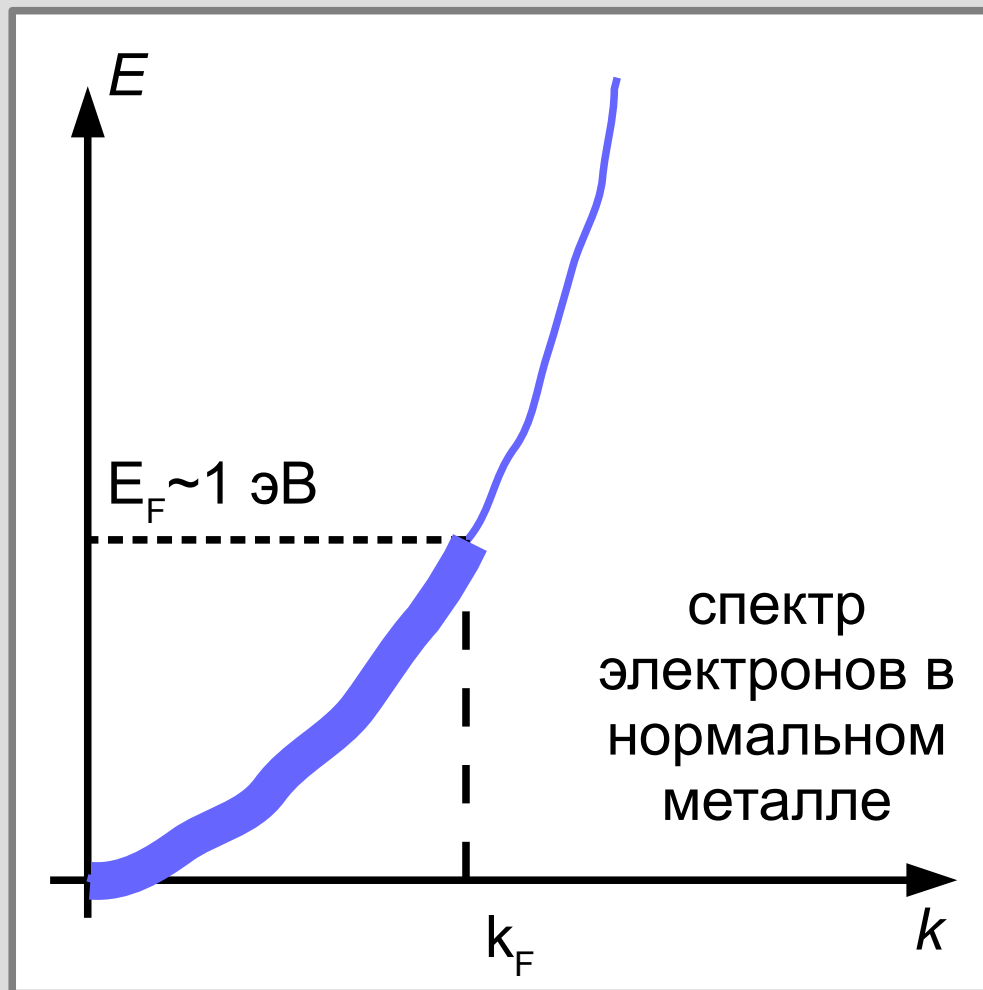
- Щель в спектре зависит от температуры,
- возникает из нуля в точке перехода в сверхпроводящее состояние,
- зависит от температуры универсальным образом

уры.

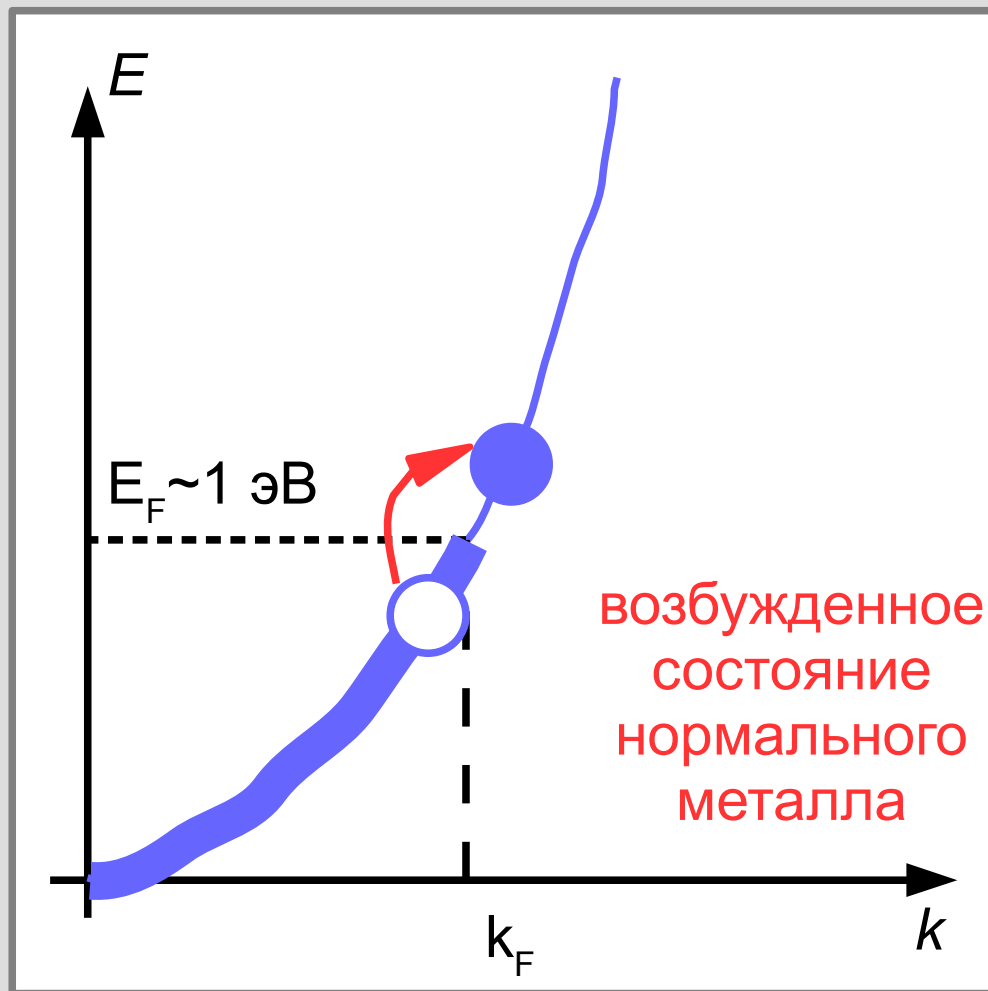
Спектр возбуждений сверхпроводника.



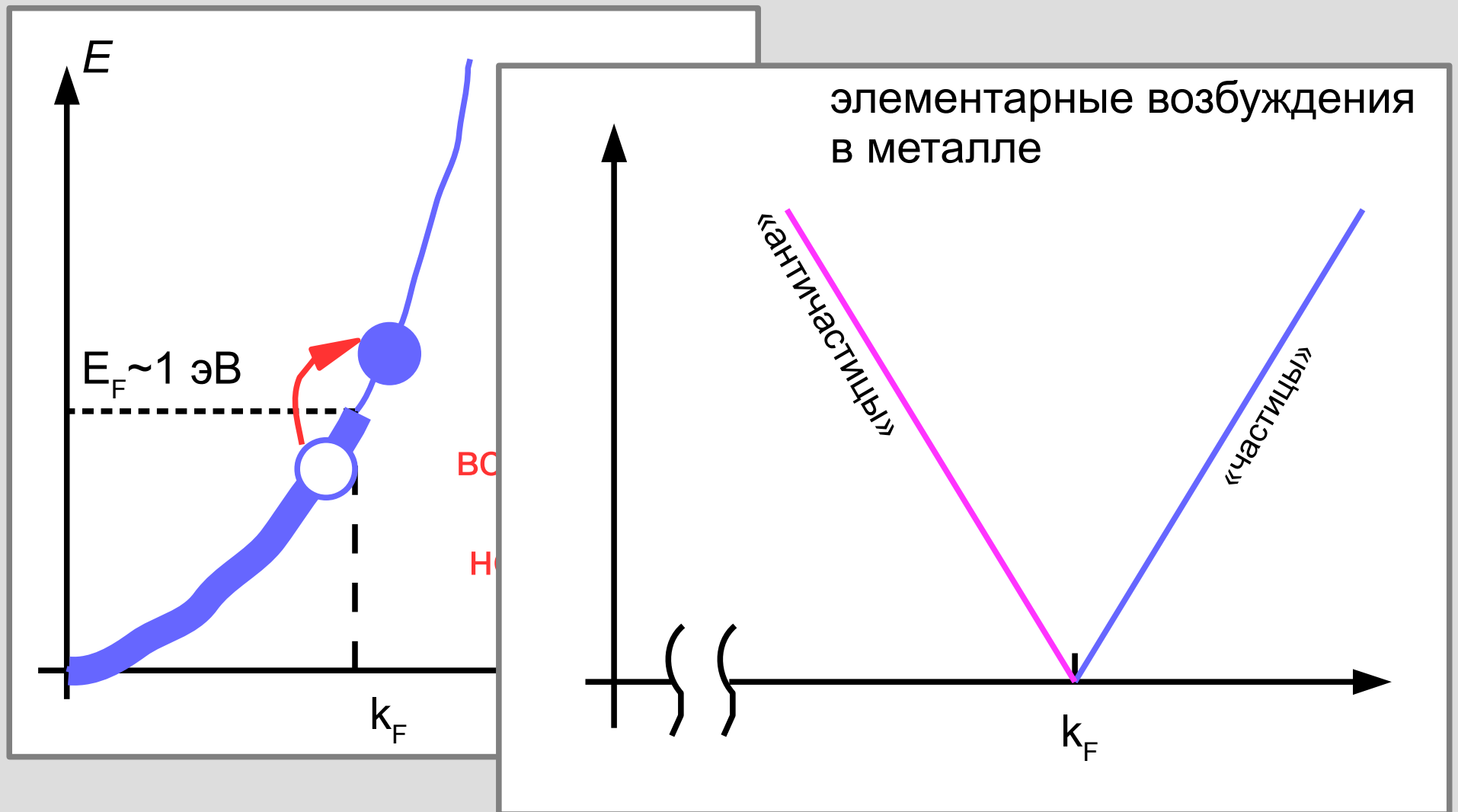
Спектр возбуждений сверхпроводника.



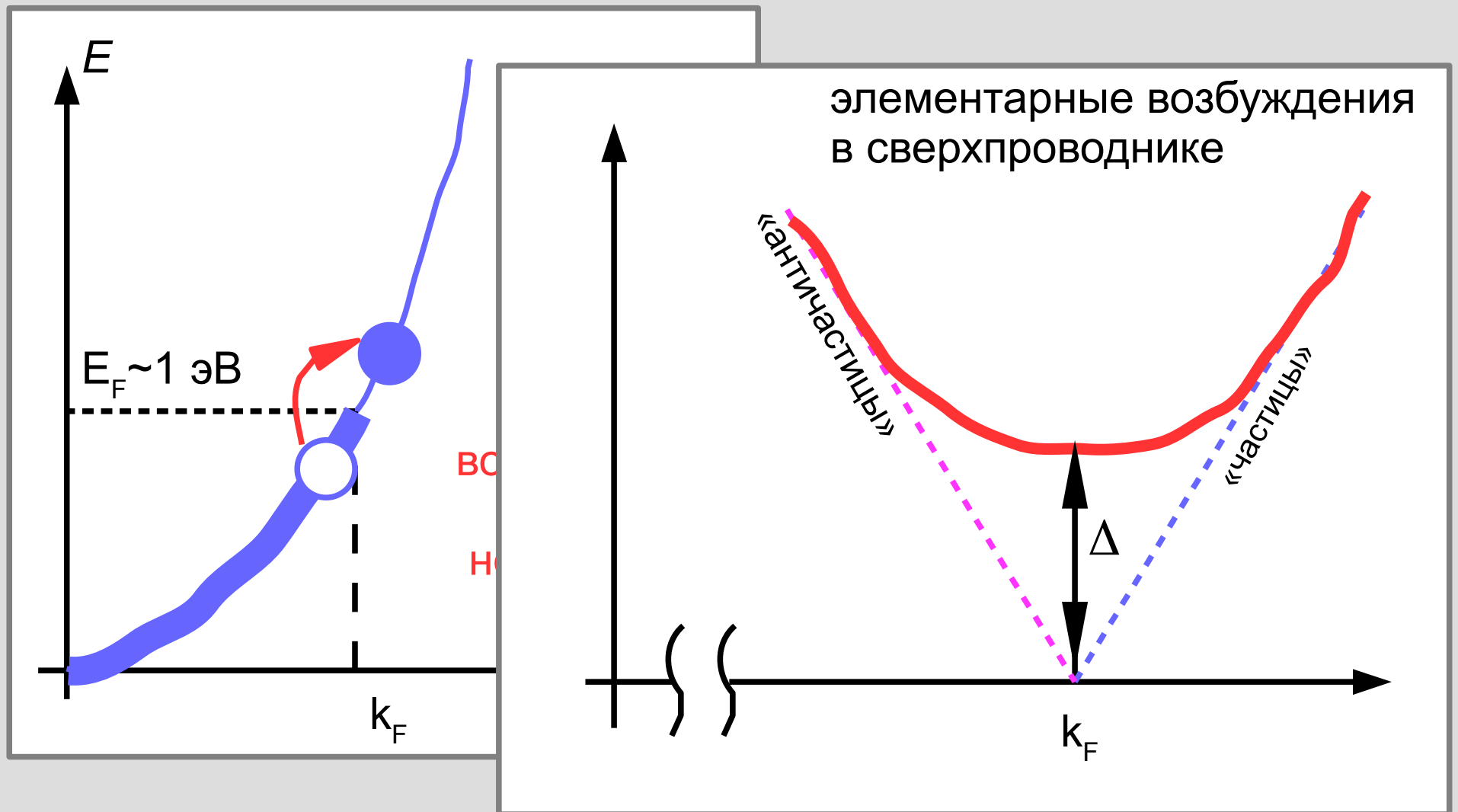
Спектр возбуждений сверхпроводника.



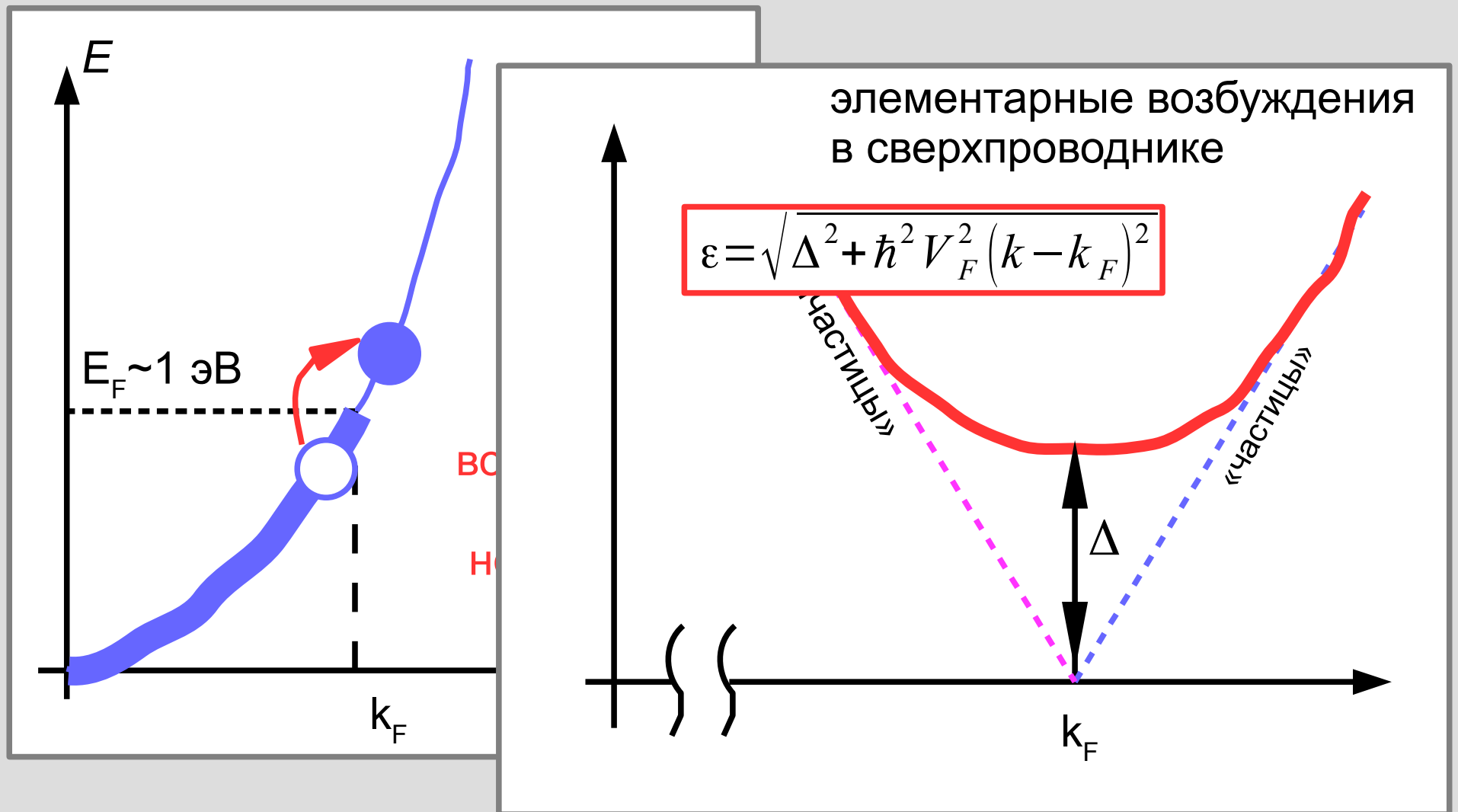
Спектр возбуждений сверхпроводника.



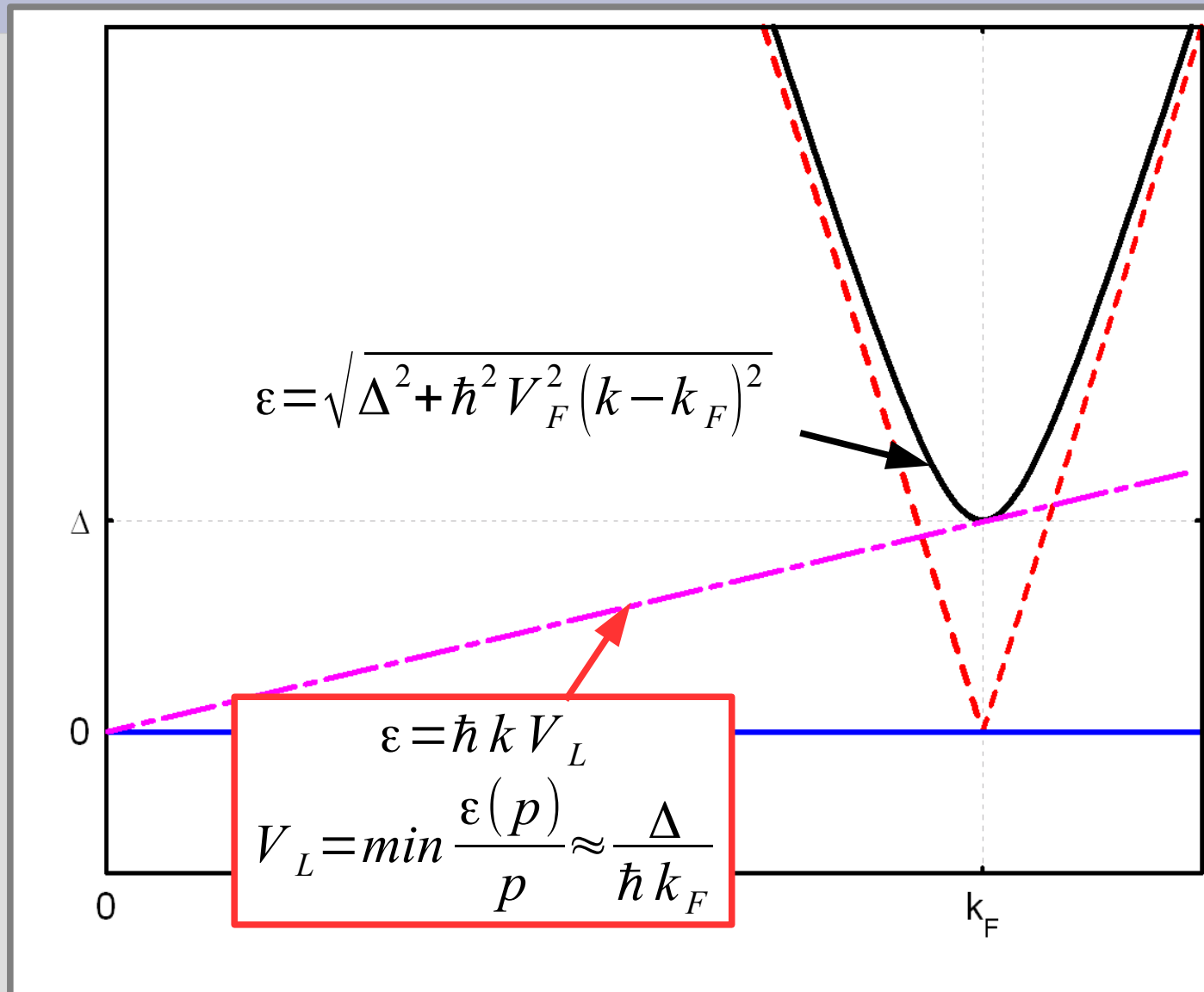
Спектр возбуждений сверхпроводника.



Спектр возбуждений сверхпроводника.

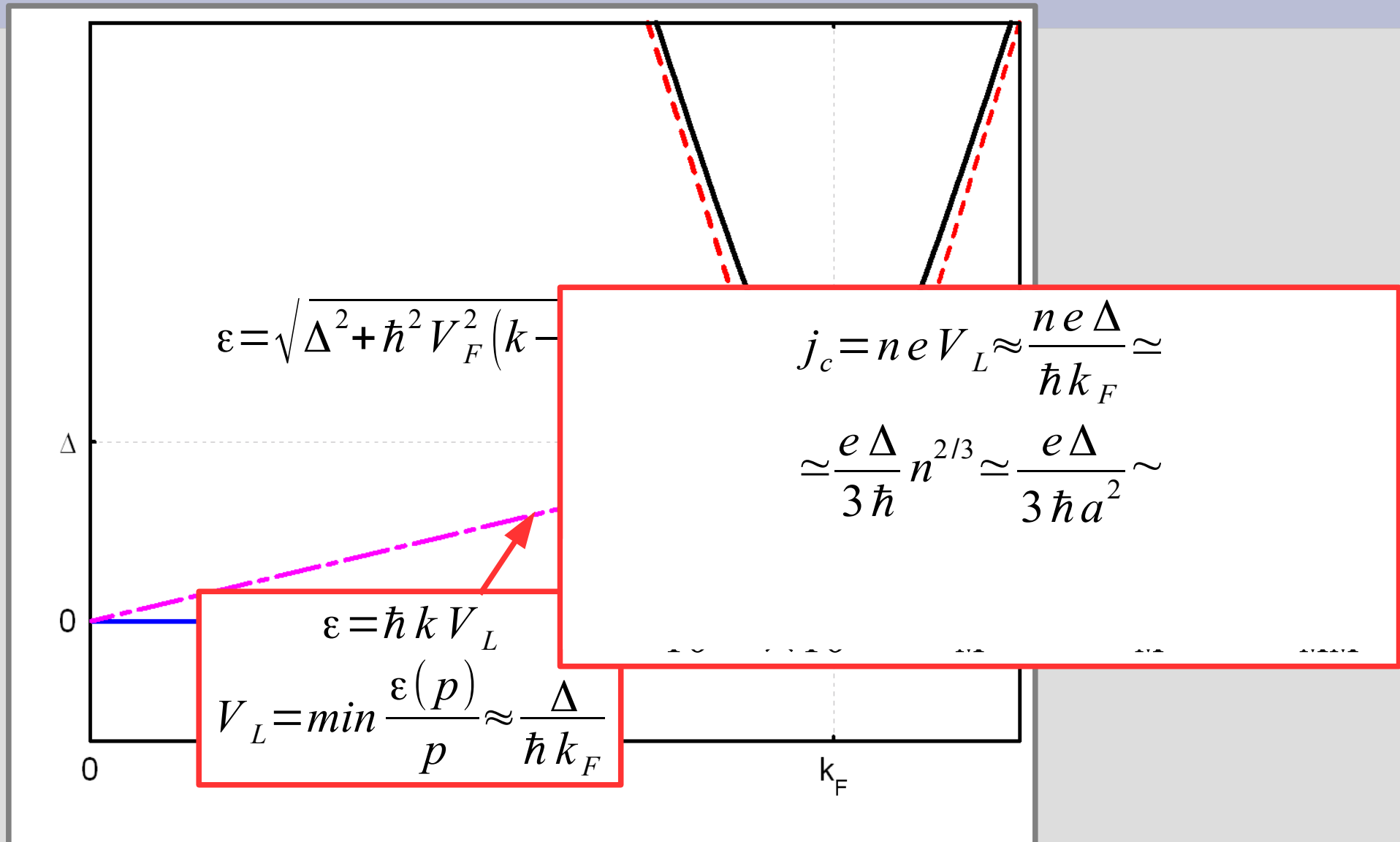


Критический ток сверхпроводника



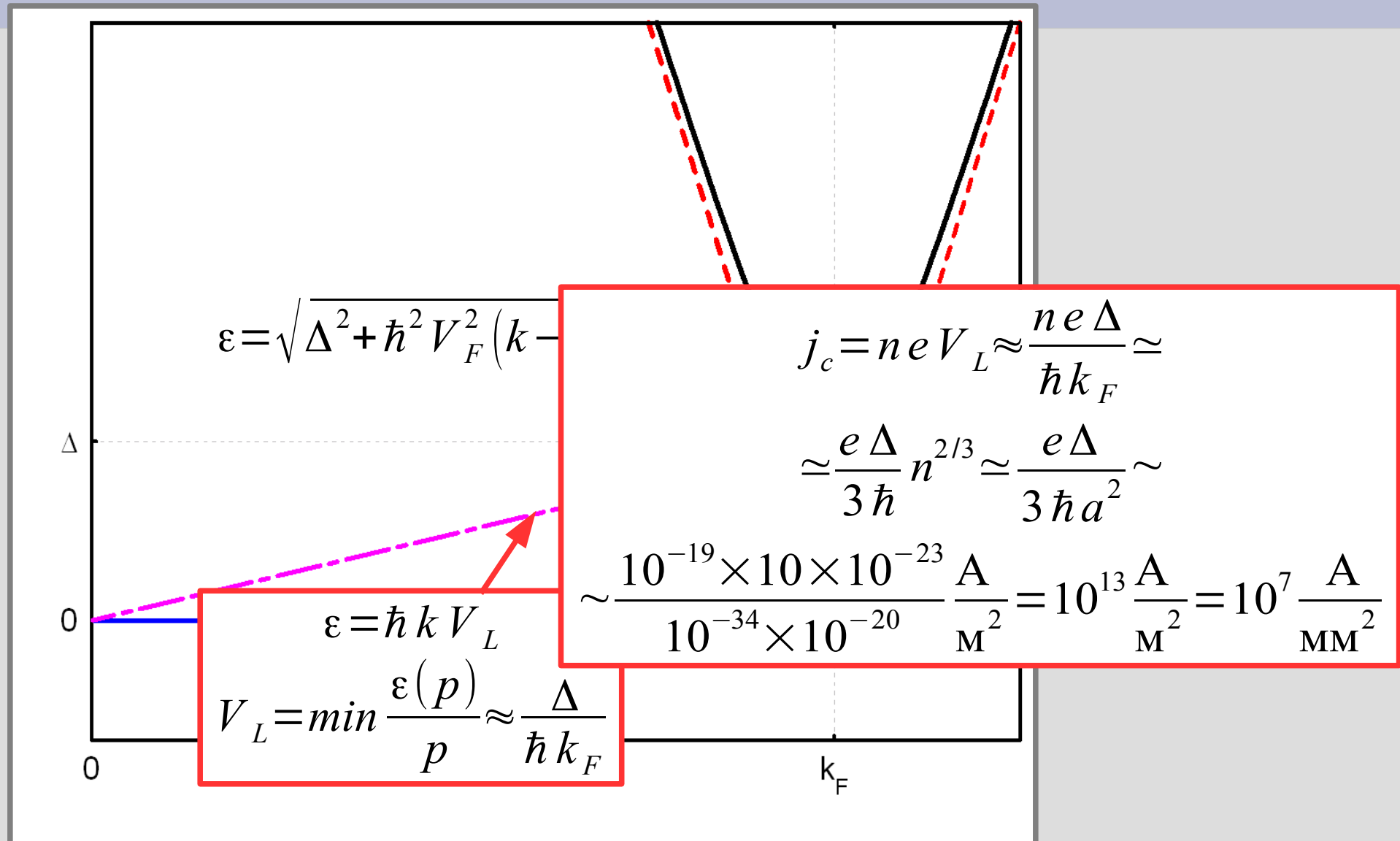
Спектр возбуждений в нормальном металле (пунктир) и сверхпроводнике (сплошная линия). Штрих-пунктирная линия показывает построение критической скорости Ландау. Нулевой уровень соответствует энергии основного состояния.

Критический ток сверхпроводника



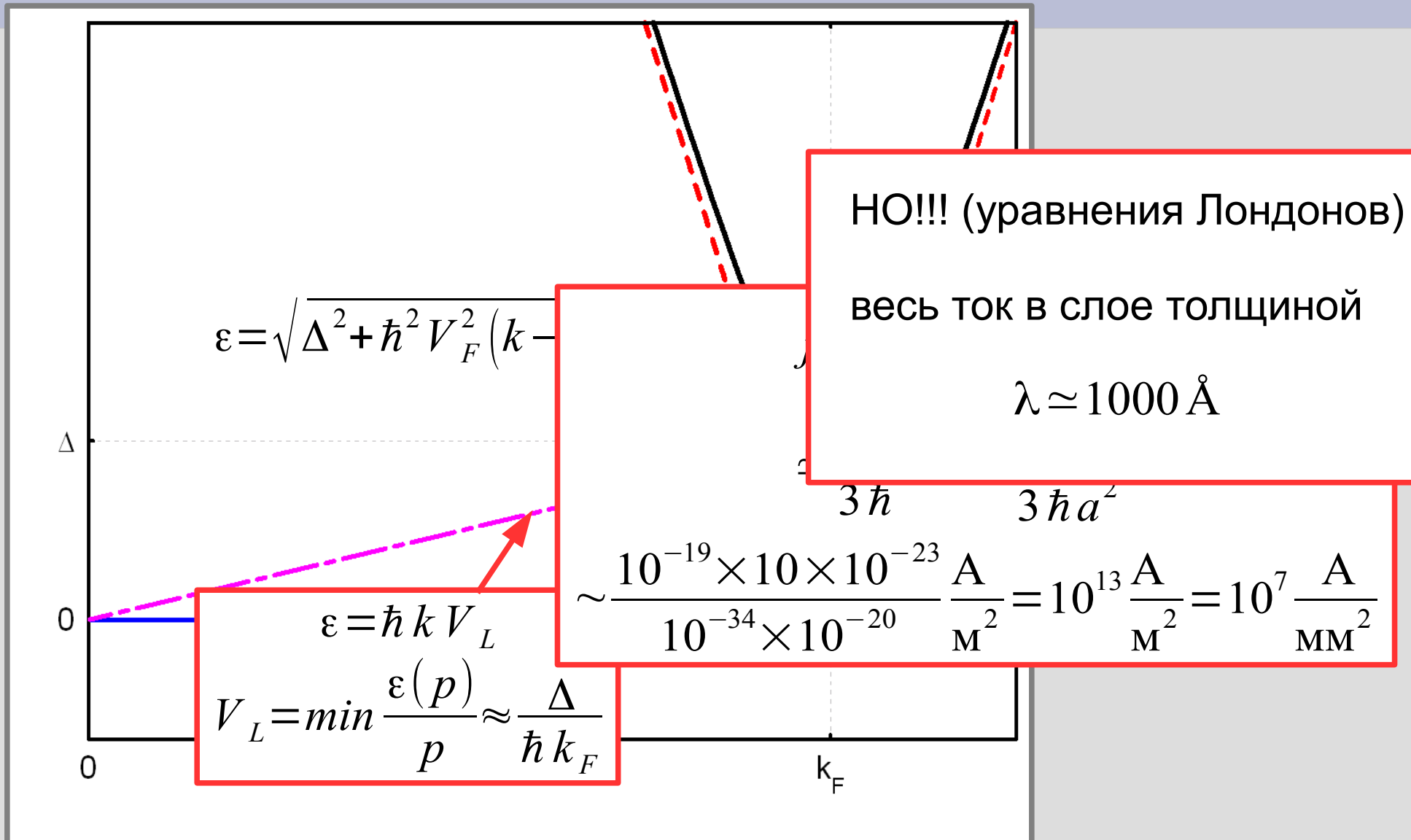
Спектр возбуждений в нормальном металле (пунктир) и сверхпроводнике (сплошная линия). Штрих-пунктирная линия показывает построение критической скорости Ландау. Нулевой уровень соответствует энергии основного состояния.

Критический ток сверхпроводника



Спектр возбуждений в нормальном металле (пунктир) и сверхпроводнике (сплошная линия). Штрих-пунктирная линия показывает построение критической скорости Ландау. Нулевой уровень соответствует энергии основного состояния.

Критический ток сверхпроводника

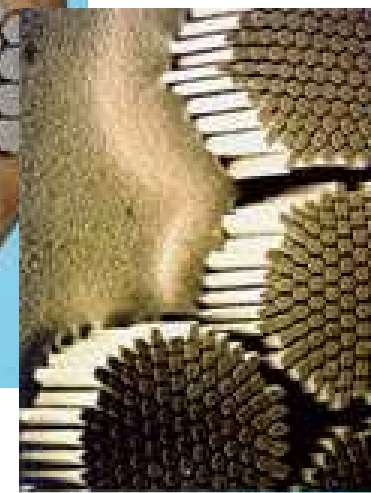
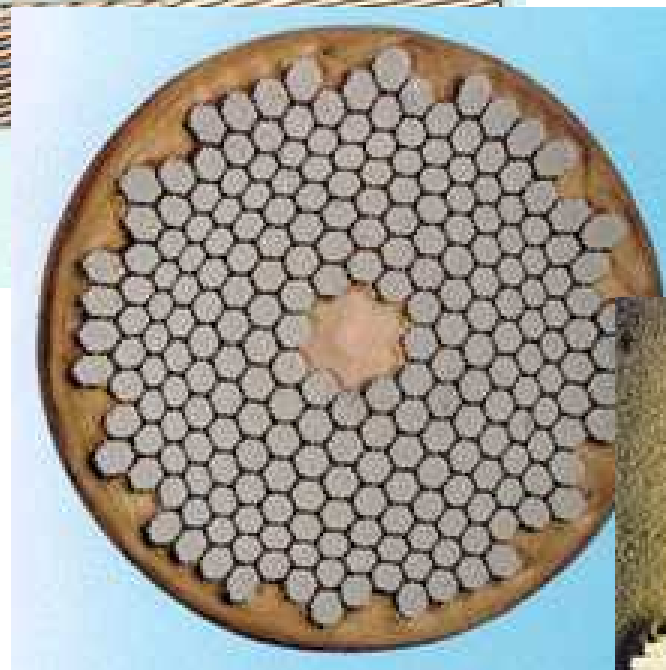
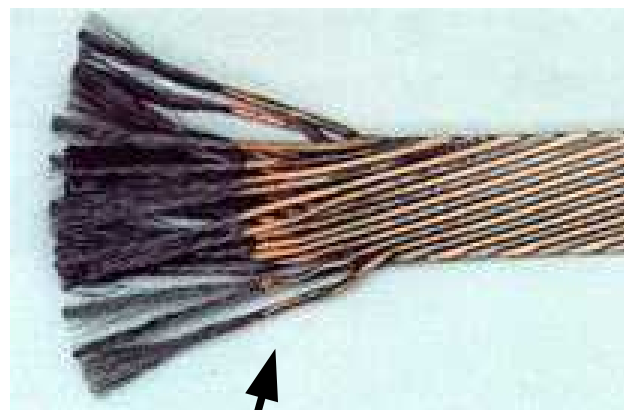
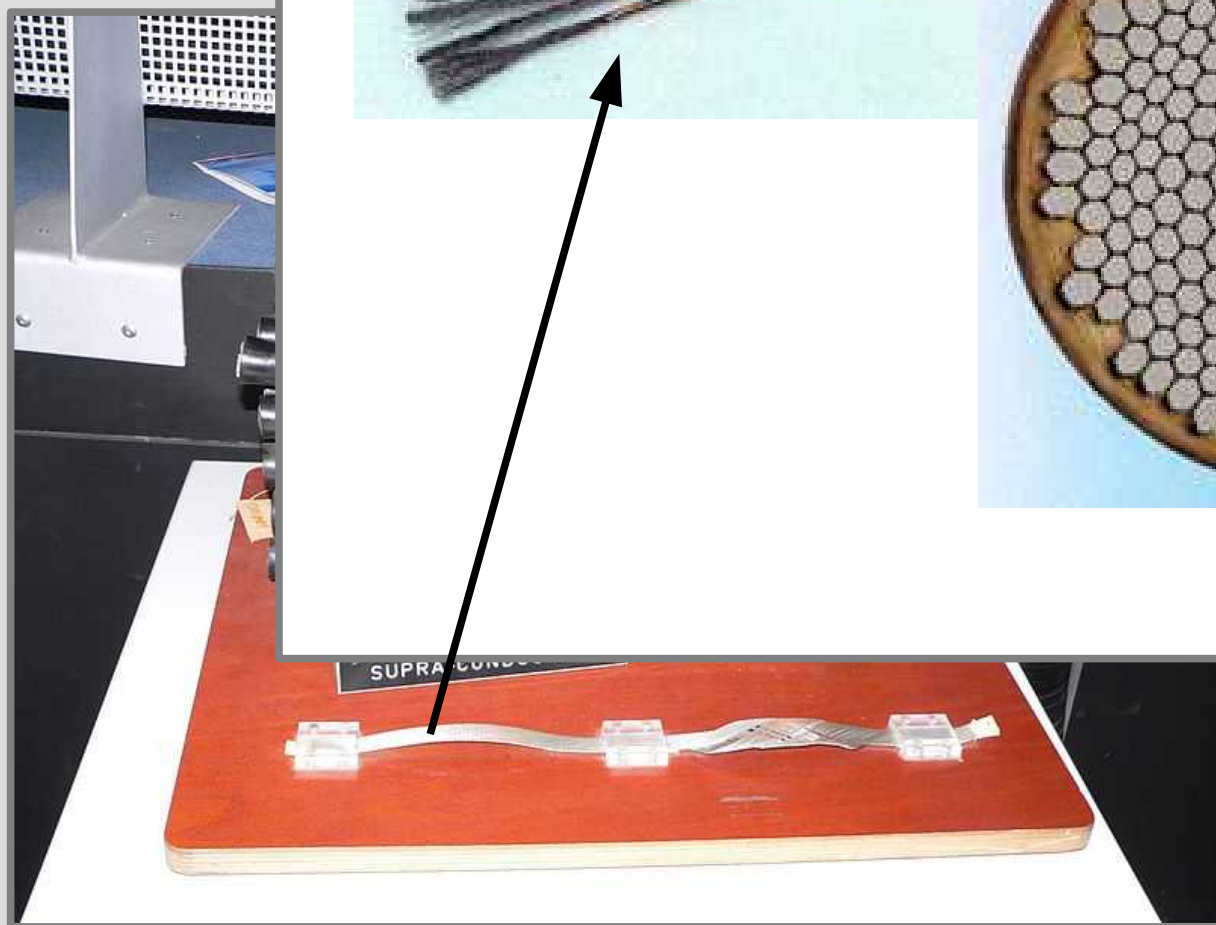


Спектр возбуждений в нормальном металле (пунктир) и сверхпроводнике (сплошная линия). Штрих-пунктирная линия показывает построение критической скорости Лондау. Нулевой уровень соответствует энергии основного состояния.

Сверхпроводящий кабель БАК



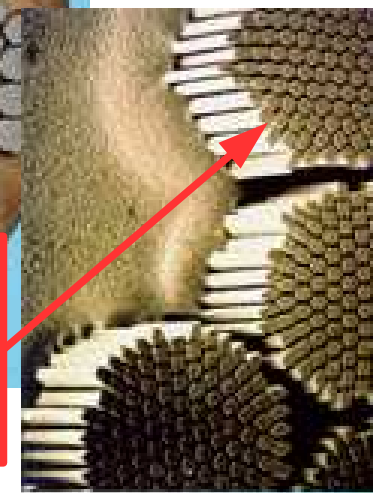
<https://en.wikipedia.org/wiki/Superconductivity>



Сверху: многожильный кабель (36 жил, полный диаметр около 15 мм), снизу: сечение одной жилы (диаметр около 1.5 мм) в разных масштабах. Каждая жила содержит около 6300 «волосков» сверхпроводящего провода (NbTi) толщиной около 6 мкм в матрице из бескислородной меди.

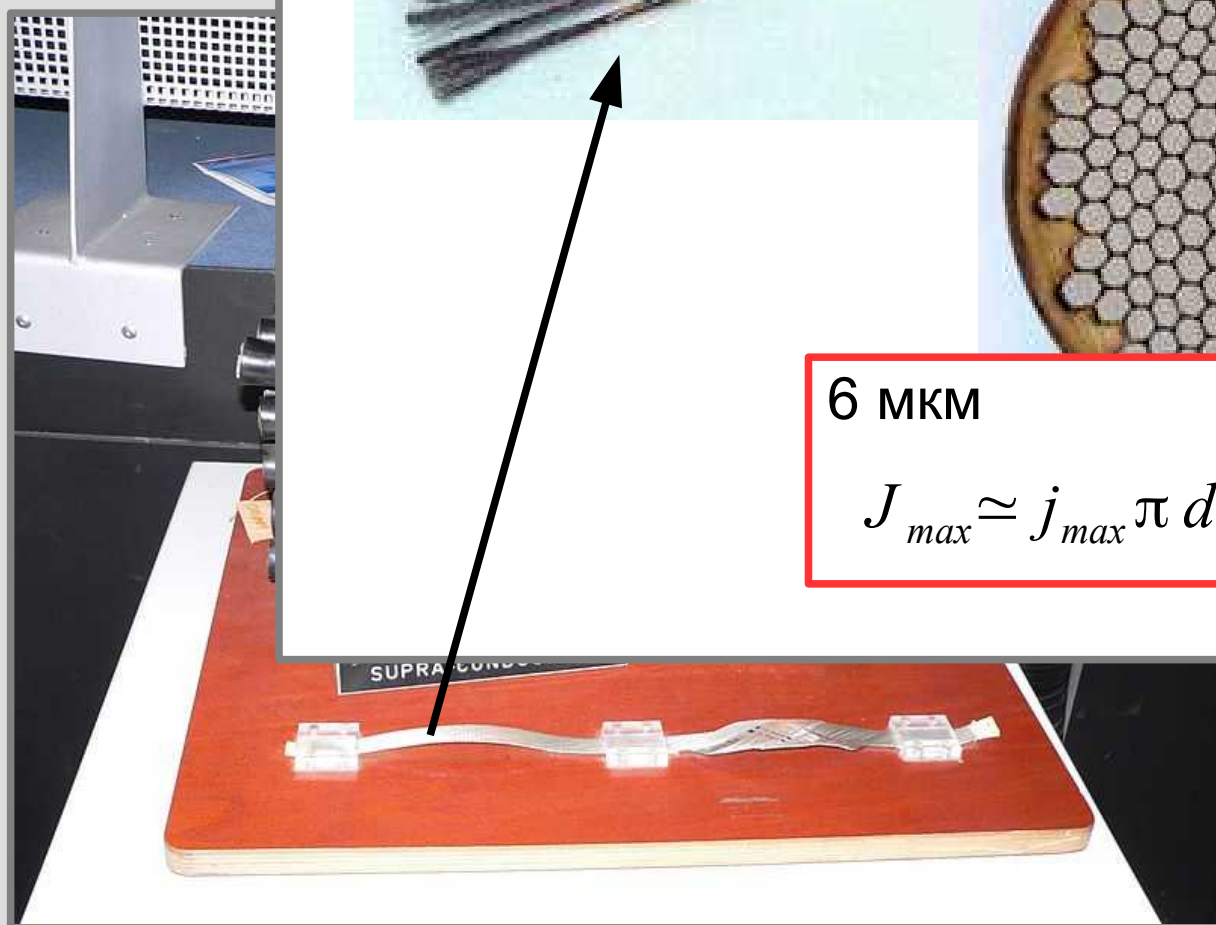
<https://en.wikipedia.org/wiki/Superconductivity>

CERN, LHC Machine Outreach: Super conducting cable, 2015, <http://lhc-machine-outreach.web.cern.ch/lhc-machine-outreach/components/cable.htm>



6 мкм

$$J_{max} \cong j_{max} \pi d \lambda \sim 1 \text{ A}$$

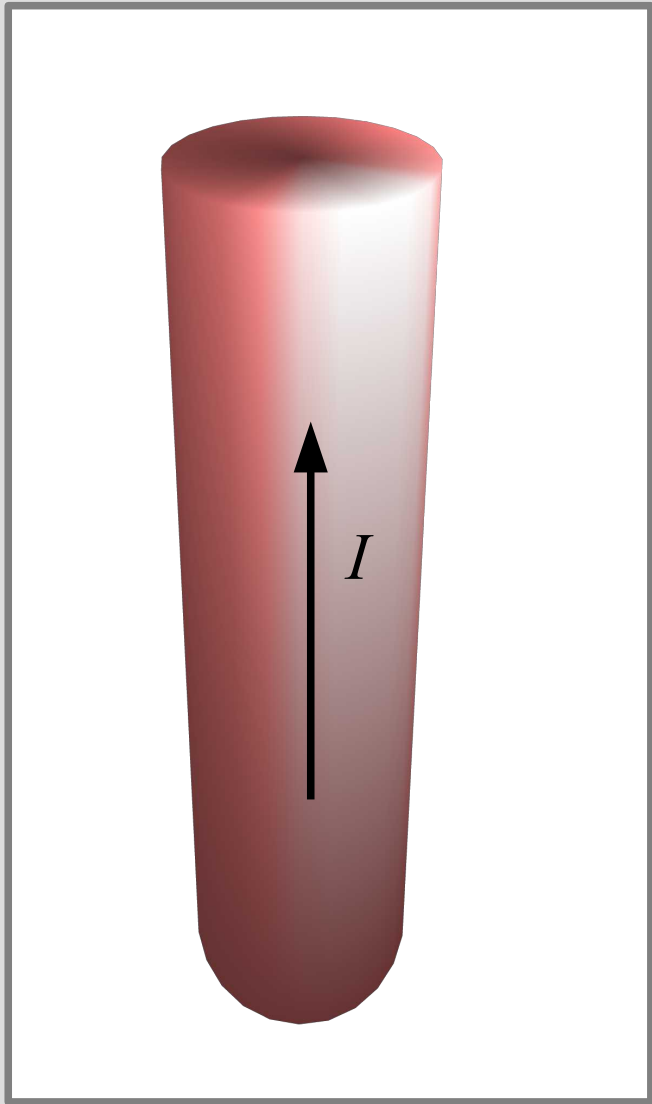


Сверху: многожильный кабель (36 жил, полный диаметр около 15 мм), снизу: сечение одной жилы (диаметр около 1.5 мм) в разных масштабах. Каждая жила содержит около 6300 «волосков» сверхпроводящего провода (NbTi) толщиной около 6 мкм в матрице из бескислородной меди.

<https://en.wikipedia.org/wiki/Superconductivity>

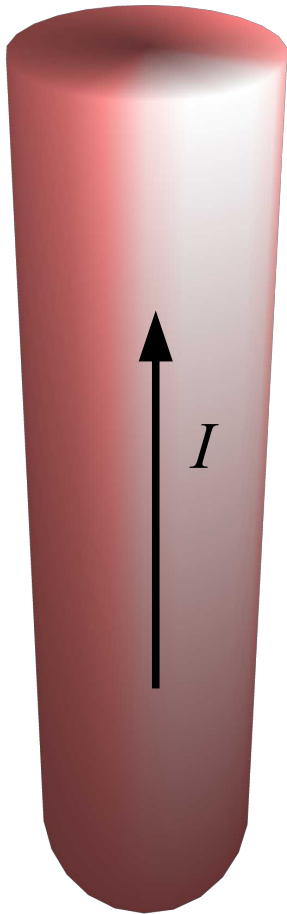
CERN, LHC Machine Outreach: Super conducting cable, 2015, <http://lhc-machine-outreach.web.cern.ch/lhc-machine-outreach/components/cable.htm>

Критическое поле сверхпроводника



$$H_c = \frac{2 I_c}{c r} = \frac{4 \pi r \lambda j_c}{c r} = \frac{4 \pi}{c} \lambda j_c$$

Критическое поле сверхпроводника



$$H_c = \frac{2I_c}{cr} = \frac{4\pi r \lambda j_c}{cr} = \frac{4\pi}{c} \lambda j_c$$

$$1) \quad H_c \propto \Delta \propto T_c$$

$$2) \quad [\text{СИ}] H_c = \frac{I_c}{2\pi r} = \lambda j_c \sim \\ \sim 10^6 \text{ А/м} \rightarrow B_c \sim 1 \text{ Тл}$$

